



UNIVERSITAT DE
BARCELONA

**LES CARACTERÍSTIQUES
CONSTRUCTIVES DELS MURS I LES
FONAMENTACIONS ROMANES A
BADALONA**

HÈCTOR PUCH ORTONOVES

NIUB: 16629421

Treball Final de Grau d'Arqueologia

Arqueologia Clàssica i Antiguitat Tardana

CURS 2019/2020

TUTOR: Dr. Josep Maria Gurt i Esparraguera

RESUM

A partir de les diferents intervencions arqueològiques realitzades a la Plaça de Font i Cussó i al Carrer de les Termes Romanes núm. 2 i 3 de Badalona, es proposa una classificació crono-tipològica de les restes arqueològic-arquitectòniques, seguint algunes de les metodologies proposades per l'arqueologia de l'arquitectura.

PARAULES CLAU: Característiques constructives, *Baetulo*, Crono-tipologies, Restes arqueològic-arquitectòniques, Murs, Fonamentacions, Maçoneria, Carreuó, Arqueologia de l'arquitectura, *Insulae*, *Domus*.

ABSTRACT

A proposal of a chrono-typological classification of the archaeological-architectural remains found on interventions carried out in Badalona, more specifically at Plaça de Font i Cussó and Carrer de les Termes Romanes n. 2 and 3. The approach exposed on this project follows some of the methodologies presented by the archaeology of architecture.

KEYWORDS: Constructive characteristics, *Baetulo*, Chrono-tipologies, Archaeological-architectural remains, Walls, Foundations, Masonry, Ashlar, Archaeology of architecture, *Insulae*, *Domus*.

SUMARI

1. Introducció.....	1
2. Marc Geogràfic.....	3
3. Marc Històric.....	5
3. 1. La romanització de la Laietània.....	5
3. 2. La fundació de <i>Baetulo</i>	7
4. Metodologia.....	11
5. Interpretació.....	13
6. Conclusions.....	43
7. Bibliografia.....	45
8. Annex.....	50
8. 1. Treball de camp.....	50
8. 2. Figures.....	188

AGRAIMENTS

Voldria agrair al meu tutor, el Dr. **Josep Maria Gurt i Esparraguera**, els seus consells que han estat de gran utilitat per a la realització d'aquest treball i la seva dedicació i temps emprat.

A la **Clara Forn**, Tècnica-conservadora del Departament d'Arqueologia del Museu de Badalona, per facilitar-me l'accés als espais, la consulta de bibliografia i l'atenció d'alguns dubtes. A l' **Esther Gurri**, Tècnica-conservadora del Departament d'Arqueologia al Museu de Badalona, per facilitar-me la consulta de bibliografia.

A l'arqueòleg **Jacinto Sánchez Gil de Montes** per proporcionar-me les memòries d'intervenció arqueològica i atendre alguns dubtes.

A la meva família i els meus amics pel seu suport.

Moltes gràcies.

1. INTRODUCCIÓ

En aquest treball de final de grau es planteja l'estudi de les característiques constructives dels paraments i les fonamentacions romanes emprades en diversos sectors de la ciutat de *Baetulo*, des d'una perspectiva arqueològica i arquitectònica, mitjançant l'aplicació de mètodes i sistemes d'anàlisis proposats per l'arqueologia de l'arquitectura.

El terme arqueologia de l'arquitectura va ser encunyat per Tiziano Mannoni a Itàlia i va sorgir amb la finalitat d'agrupar tota una sèrie d'experiències i investigacions realitzades en els dos decennis anteriors com a resultat de l'aplicació dels instruments, conceptes i problemàtiques de la disciplina arqueològica a l'estudi de l'arquitectura (Quirós, 2002). Aquest fet, va suposar un important avanç en el coneixement de les tècniques constructives de l'antiguitat amb aportacions cronotipològiques indubtables en el coneixement de les formes de construir i en el significat social de l'evergetisme en les societats antigues (Azkarate *et al*, 2002). Però va ser la incorporació a l'estudi de l'arquitectura d'instruments específicament estratigràfics el que va donar inici a un nou camp que coneixem avui amb el nom "arqueologia de l'arquitectura" (Azkarate *et al*, 2002), que es una disciplina arqueològica amb la finalitat de perseguir el coneixement de la societat a través de les restes arquitectòniques (Quirós, 2002).

Baetulo està situada a sota de l'actual Badalona i aquest fet implica que les intervencions arqueològiques que es realitzen en aquest jaciment no es plantegin per iniciativa d'un projecte d'investigació unitari basat en formulacions científiques amb indicació de quins problemes històrics existeixen, quines hipòtesis de treball es plantegen o quina és la metodologia a utilitzar, sinó que les intervencions es porten a terme en funció de la dinàmica urbanística de la ciutat (Padrós i Sánchez, 2014). Per tant, la informació proporcionada per aquestes actuacions és esbiaixada i parcial i aquest fet pot influir notablement en l'anàlisi i en les hipòtesis de treball que puguin plantejar-se sobre el jaciment (Padrós i Sánchez, 2014).

Pel que fa als antecedents arqueològics dels sectors de la ciutat de *Baetulo* que conformen aquest estudi, ens trobem amb diverses intervencions preventives i programades. En el cas del Carrer de les Termes Romanes, núm. 3, s'han realitzat diverses intervencions entre els anys 2005 i 2010. A la Plaça de Font i Cussó, des de l'any 1977 fins el 2010 i, finalment, al Carrer de les Termes Romanes, núm. 2 – cantonada amb la Plaça de l' Assemblea de Catalunya, núm. 2, l'any 2010 i 2011. Aquestes intervencions arqueològiques van documentar una part de la ciutat de *Baetulo* propera al fòrum.

Concretament es van localitzar tres carrers (*cardo maximus*, *decumanus maximus* i *cardo minor*) que delimiten cinc *insulae* i tres *domus* de la ciutat. Les *insulae* van ser documentades parcialment, ja que una part queda fora dels límits del subsol de la plaça (Padrós, 2009).

Tot i que en aquests sectors s'han realitzat intervencions programades, no s'ha plantejat cap estudi de conjunt de les diferents característiques constructives emprades als murs i les fonamentacions de la ciutat (només s'ha fet l'estudi de l'evolució arquitectònica i urbanística de les restes arqueològiques de la Plaça de Font i Cussó per l'arqueòleg Jacinto Sánchez Gil de Montes) que permetin la classificació cronotipològica de les restes arquitectòniques i que, alhora, puguin ser aplicables en altres ciutats amb unes característiques i cronologies similars. Per aquest motiu, el present treball pretén donar resposta a aquesta mancança i oferir la possibilitat d'ampliació a mesura que futures excavacions posin de manifest altres estructures d'aquesta mateixa ciutat.

Finalment, la següent investigació representa la cloenda del Grau d'Arqueologia, cursat a la Facultat de Geografia i Història de la Universitat de Barcelona. El seu objectiu es desenvolupar els coneixements i habilitats obtingudes durant els anys de formació i, també, realitzar una primera aproximació a la investigació en arqueologia.

2. MARC GEOGRÀFIC

Badalona està situada en una plana, a la riba esquerra del riu Besòs, que pertany a la Depressió Litoral (fig. 1), franja que s'estén entre la Serralada Litoral o de Marina i el mar Mediterrani. Aquesta forma part de les anomenades Serralades Costaneres Catalanes o Catalànids. Format per una doble serralada paral·lela a la costa que s'estén des de la desembocadura del riu Ter fins al Delta de l'Ebre.

La serralada Litoral és suaument ondulada, no hi ha cap altitud important: Montnegre (759 m), Collserola (512 m) i el Montsià (762 m). Presenta una amplada entre 10 i 15 km i la majoria d'autors la diferencien en dos trams en funció dels seus materials, un de septentrional al nord del Llobregat i un meridional al sud d'aquest riu, on la seva carena baixa progressivament fins a desaparèixer vora del Vendrell al arribar la Serralada fins el mar.

Badalona forma part dels terrenys al·luvials del riu Besòs, que té un recorregut curt, de cabal irregulars i de règim torrencial. Aquest riu va formar un delta amb els materials que va anar aportant i que va dipositar en arribar al mar (Parés, 1982).

D'altra banda, aquesta ciutat, té set rieres que la travessen en direcció perpendicular al mar. Aquestes són les següents: El Rierot, Riera de Sant Joan (Jornet), Riera d'en Folch (Riera de Canyet), Riera de Matamoros, Torrent del Camí del Cementiri, Riera de Canyadó i Torrent de Vallmajor. En l'actualitat, gairebé mai porten aigua (només quan plou) i la gran majoria estan cobertes i transformades en carrers (Bofill i Prat, 1982).

La Plana es divideix en dos unitats, la Plana Alta i la Plana Baixa. La Alta està constituïda pel samòntà¹. Aquest, presenta tres fases cadascuna de les quals es compon de tres nivells: un primer nivell d'argiles bretxoides vermelles, un segon de llims groguencs eòlics i un tercer de crostes calcàries amb concrecions de carbonats (tortorà). A més, en punts propers a les elevacions, aquesta seqüència passa lateralment a dipòsits de cons al·luvials, amb graves abundants i argiles vermelles. Posteriorment, les rieres han excavat i dipositat materials més recents. D'altra banda, la Plana Baixa es caracteritza per presentar una pendent suau i micro-relleus de fins a cinc metres (Riera, 1994).

Els materials més antics (Primari) són el granit, el pòfir i les roques que els cobrien tots dos. Aquests els podem trobar a la Creu de Montigalà, Sant Onofre, Turó d'en Boscà

¹ Nom que reben els materials continentals quaternaris pre-holocens (Riera, 1994).

i Mas Ram. Durant el Secundari trobem materials com els conglomerats quarosos, gresos vermells, calcàries, argiles i margues. En trobem vestigis al Turó de l'Enric, Turó d'en Seriol o d'en Matas, Turó del Sastre, Turó de Montgat, etc. Del Terciari podem trobar conglomerats de color vermell intens que tenen uns còdols de fins i tot un metre de diàmetre. Hi ha mostres al Turó d'en Caritg, Turó de Mongat i a Bufalà. Finalment, els materials que trobem al Quaternari són: la sorra de platja, sauló i lehm (Parés, 1982).

Badalona té un clima mediterrani litoral propi de la zona costanera, per tant, és aatemperat. Es caracteritza per uns estius secs i calents i un període més fresc a l'hivern on poden haver-hi glaçades ocasionals (Bert i Giralt, 1982). Les pluges són escasses i es concentren a la primavera i a la tardor, moments en les que poden ser torrencials. La quantitat anual aproximada de precipitacions esta entre els 610 i els 550 mm. D'altra banda, les estacions on menys plou són l'hivern i l'estiu, essent el juliol el més sec (Riera, 1994).

Pel que fa a les temperatures, les més elevades es donen a l'agost seguint el juliol amb molt poca diferència. I per contra el mes que enregistra les temperatures més fredes és el gener seguit del desembre i el febrer (Bert i Giralt, 1982).

La vegetació de Badalona s'inclou dins la regió mediterrània, dins la qual és l'àrea de contacte de la província boreomediterrània (domini climàtic del *Quercion ilicis*) estes entre els rius Ter i Llobregat. La nostra zona, que inclou terres de baixa alçada, està caracteritzada pel domini de l'associació *Quercetum ilicis galloprovinciale* o alzinar litoral. Per tant, la comunitat potencial d'aquesta àrea seria l'alzinar amb marfull (*subass. Pistacietosum*) caracteritzat pel domini del *Quercus ilex*, així com per la presència d'alguns arbusts com *Viburnum tinus*, *Arbutus unedo*, *Phyllyrea media*, *Rhamnus alaternus*, etc (Riera, 1994).

Finalment, cal destacar que l'acció de l'home ha provocat un descens en la presència de l'alzinar i un augment del matollar format per bruc, estepa borrera, argelaga negra, gòdua catalana, gatosa, estepa negra, bruguerola, etc.

3. MARC HISTÒRIC

3. 1. LA ROMANITZACIÓ DE LA LAIETÀNIA

L'arribada dels romans a la península ibèrica va suposar un dels fets més definitius per a la història d'aquest territori. Es va produir a final de l'estiu de l'any 218 aC amb el desembarcament dels soldats de Cneo Corneli Escipió a Empúries dintre del marc de la segona guerra púnica i fruit de l'enfrontament entre les dues potències occidentals: Roma i Cartago. L'avanç de les tropes cartagineses d'Anníbal cap a Roma va decidir la intervenció de l'exèrcit romà, que, per tal de tallar-li la rereguarda, va desembarcar amb les seves tropes a la costa catalana. Un cop aconseguida la victòria sobre Cartago, els romans es varen quedar en els territoris que havien conquerit i varen començar una llarga expansió, assentant-se en diverses zones, entre les quals es troba la Laietània (Villarroya et al, 1999).

La presència dels romans a la Laietània va incidir d'una manera molt important sobre aquestes terres, a causa de la implantació d'una nova política d'ocupació i d'unes noves pautes de transformació del territori i, sobretot de l'agricultura. Aquest fet va suposar un canvi per als ibers que en aquell moment habitaven els poblats dels turons del voltant, ja que, a final del segle II aC, es documenta el fet que tant els habitants del poblat del turó d'en Boscà, com els de molts altres nuclis ibèrics, començaren a abandonar els seus poblats encimbellats, influïts per la implantació de les noves estratègies sobre el territori que els nouvinguts varen començar a imposar (Villarroya et al, 1999).

D'aquesta manera, els ibers varen començar, lentament un procés d'assimilació, no solament dels nous modes de vida, sinó també de les noves tècniques agrícoles i de producció introduïdes pels romans. La influència romana va ser tan gran que els ibers van acabar adoptant els seus costums, les seves creences i, amb el temps, fins i tot varen acabar substituint la seva llengua i la seva escriptura per la llatina: aquest és el fenomen que es coneix com a romanització (Villarroya et al, 1999).

Alguns exemples de la integració i assimilació dels ibers, i sobretot de les seves elits, els trobem als grafitis ibèrics sobre peces de vernís negre, en els nivells republicans, amb noms indígenes que permeten intuir el pes demogràfic indígena dels seus habitants (Olesti, 2000). Altres exemples d'aquest fenomen el trobem a l'estela funerària trobada als voltants de la vil·la de Can Peixau, situada molt a prop del nucli urbà de Baetulo. És

un bloc monolític de pedra de Montjuïc, on hi ha gravats diversos motius típicament ibèrics, així com la inscripció d'un nom amb tres lletres corresponents a l'alfabet ibèric: *CAIO*. És evident que es tracta de l'estela commemorativa d'un iber, escrita en l'alfabet ibèric i amb totes les característiques d'un monument funerari ibèric, però que, en canvi, porta un nom inequívocament romà: Caius. D'altra banda, un altre exemple de la coexistència que es va donar entre ambdues cultures, és el fet que, a la ciutat, s'han trobat moltes monedes de bronze amb la llegenda de la seca de *Baitolo* escrita en ibèric, la qual cosa indica que, malgrat que els patrons eren romans, els ibers varen inscriure en les peces el seu propi topònim en caràcters ibèrics. Tot plegat és indicatiu d'una relativa bona relació entre ambdues cultures, sempre, però, amb una supeditació evident de la indígena respecte a la romana (Villarroya et al, 1999).

L'assentament dels romans a la Laietània i la reorganització del territori van comportar la creació de nuclis urbans, que en el cas de la Laietània es reflecteix en la fundació de petites ciutats costaneres que, a banda d'ocupar-se de les grans feines administratives pròpies d'una *urbs*, també centralitzaven les activitats agrícoles que es portaven a terme al camp i donaven sortida als excedents destinats a la venda i l'exportació. En aquest procés s'ha d'inserir la fundació de la ciutat de *Baetulo*, i cal trobar-hi també la seva pròpia raó de ser (Villarroya et al, 1999).

3. 2. LA FUNDACIÓ DE *BAETULO*

Baetulo va ser una fundació romana *ex novo* que formaria part del programa de fundacions urbanes que va impulsar Roma a finals del segle II, inicis del segle I aC (Padrós i Sánchez, 2011). La seva ubicació responia a una finalitat molt concreta: ser un dels elements vertebradors de la nova ordenació territorial de la Laietània (Antequera et al, 2010).

Els romans fundaren *Baetulo*, l'actual Badalona, en una zona que conjugava els dos aspectes bàsics de les fundacions *ex novo*: la seva situació estratègica davant el mar i de control de la via que circulava pel litoral, i la seva ubicació en una plana, sense accidents geogràfics als voltants, amb comunicacions obertes i bones possibilitats agrícoles a la rodalia (Villarroya et al, 1999).

Pel que fa a la seva cronologia fundacional, no existeix una clara evidència que permeti fixar amb absoluta seguretat la seva data inicial. Alguns autors proposen una datació de finals del segle II aC (Antequera et al, 2010). Altres, en base als anàlisis dels materials numismàtics, situen la seva fundació en torn el decenni 90-80 aC (Padrós i Sánchez, 2011). I d'altres, estableixen els seus inicis urbans entre els anys 80 i 70 aC, en base a la documentació proporcionada pels primers nivells estratigràfics. Per tant, semblaria lògic pensar que la seva fundació pogués haver-se donat als vols de l'any 80 aC (Padrós, 2008).

Topogràficament, *Baetulo* estava emplaçada damunt d'una petita elevació del terreny, el turó d'en Rosés (Villarroya et al, 1999). Aquest turó quedava limitat per dues rieres (les actuals avinguda Martí Pujol i Riera Matamoros) i el mar (que en època romana se situaria entre els carrers Francesc Layret i Via Augusta), amb un important desnivell tant cap al vessant sud com cap als vessants que donaven a les rieres (fig. 2) (Padrós i Sánchez, 2016).

Fou una ciutat que representa la creació d'un centre urbà establert al marge del nucli predecessor, el poblat ibèric del turó d'en Boscà, amb un trencament topogràfic clar (Villarroya et al, 1999).

De la ciutat fundacional es coneix part del seu recinte emmurallat, concretament dos trams dels sectors sud-est i nord-est respectivament, mentre que els trams nord-oest i sud-oest s'han situat hipotèticament en funció de la topografia, donant lloc a un recinte que englobaria una superfície propera a les 11 hectàrees (Antequera et al, 2010) (413 x 261 m) (Padrós i Sánchez, 2011).

L'ordenació urbanística interior responia a un sistema ortogonal amb una orientació NO-SE i amb els seus eixos transversals paral·lels a la costa. Segons la hipòtesi urbanística, i en base a diversos trams de col·lectors localitzats, i la modulació que se'n va extreure, es van planificar set illes (*insulae*) en amplada per nou de llargada, donant com a resultat onze *insulae* de llarg (Padrós i Sánchez, 2011), amb un sistema d'aterasament per poder salvar els desnivells originals sobretot en el pendent meridional. A l'extrem SE de la plana, on comença el desnivell cap a la costa, es va aixecar el fòrum, que creava un marc escenogràfic monumental visible des del mar (Padrós i Sánchez, 2016).

La imatge inicial d'aquest assentament quedaria marcada, per tant, per una muralla, que el protegia i delimitava (Sánchez i Padrós, 2011).

La ciutat romana de *Baetulo* es podria dividir en tres parts segons criteris topogràfics i arquitectònics. La zona alta, de suaus pendents, casi plana, es caracteritza per la presència de grans *domus* articulades en torn a l'*atrium* i amb una àrea de producció associada, cases del carrer Lladó. Al límit sud d'aquesta plana i al punt on començaria la pendent cap al litoral, es construeix el centre polític-administratiu de la ciutat, el fòrum, en un punt prominent de cara al mar. A la faldilla meridional del promontori, es situa el barri marítim comercial, on proliferen els banys públics, *tabernae*, tallers i habitatges més modestos i d'articulació més simple que les cases de la zona alta, tot i que s'engloben dins d'un urbanisme dissenyat en quadrícules i ordenat per *insulae* (fig. 3) (Padrós i Sánchez, 2011).

Baetulo té una clara filiació romana no tan sols en el seu urbanisme sinó també en la tipologia dels edificis públics i privats documentats, en els quals es demostra una total influència itàlica. Respecte de la seva categoria jurídica, Plini la qualifica com un *oppidum civium romanorum*, és a dir, un assentament urbà fortificat amb presència consolidada de ciutadans romans (Padrós i Sánchez, 2016). Estaríem per tant, davant un nucli urbà fortificat, sense estatut jurídic definit, i format per una població mixta d'indígenes i romans, amb un considerable número d'habitants en possessió de la ciutadania romana plena (Antequera et al, 2010).

La ciutat republicana va patir una primera transformació a partir d'August i en Època Julioclàudia, durant la primera meitat del segle I dC, quan es construeix part de la xarxa de clavegueram, i diversos edificis tant públics (edifici de *tabernae*) com privats (*domus* dels Dofins i *domus* de l'Heura) (Padrós i Sánchez, 2016). D'altra banda, es produeix un

gran desenvolupament en la producció i comercialització del vi que comporta un important creixement econòmic que es tradueix en la refacció i embelliment de les termes i en un creixement de la part baixa, que sobrepassa la muralla en el seu sector sud-est (Antequera et al, 2010).

A finals del segle I dC i inicis del segle II, l'arqueologia documenta a Baetulo evidències d'abandonament de diverses construccions de tipus públic i privat: canalitzacions (fig. 4), un edifici format per cinc *tabernae* o botigues, unes petites termes pertanyents a una *domus*, etc. (Padrós i Sánchez, 2016).

Amb aquestes dades, s'havien plantejat diverses hipòtesis sobre les transformacions urbanístiques de la ciutat en època flàvia. Una primera hipòtesi plantejava que aquest procés d'inutilització d'infraestructures i abandonament de cases en zones pròximes al fòrum era el resultat d'una reestructuració o transformació urbana realitzada en el darrer quart del segle I dC, tot i que en aquell moment no es va poder precisar en què hauria consistit aquesta reforma per manca de dades arqueològiques, si bé es va plantejar la possibilitat que estigués relacionada amb la concessió de l'*ius Latii* per part de l'emperador Vespasià l'any 74 dC. Posteriorment, altres autors van mantenir aquesta hipòtesi, tot i que van descartar la desaparició de la ciutat com a tal i van plantejar que aquest procés d'abandonament responia a un període de debilitat econòmica i de decadència, justificables en base a l'ascens de les colònies augustianes com *Barcino*, que hauria assumit el seu paper de control del territori en detriment de *Baetulo*. Dades posteriors proporcionades per diverses intervencions arqueològiques van permetre proposar una nova hipòtesi que relacionava el procés d'abandonaments i amortitzacions documentat a la ciutat amb el desenvolupament de les *villae* del territori, on, a partir d'aquest moment, es van detectar vestigis d'edificacions d'un cert nivell. Es plantejava, per tant, un desplaçament del lloc de residència de les famílies de més nivell econòmic des dels antics nuclis urbans cap a les seves *villae* (Padrós i Sánchez, 2016). Aquesta hipòtesi s'havia mantingut fins al present, però els resultats obtinguts en noves intervencions han permès documentar que, en contraposició a aquest procés d'abandonaments i amortitzacions, en la mateixa època de finals del segle I i inicis del segle II dC la ciutat comença un important impuls edilici amb la renovació del sistema de drenatge de les aigües i la construcció del teatre (fig. 5) i edificis privats, un exemple destacat n'és la *domus* de *Quintus Licinius*, *patronus* de la ciutat, i molt probablement el promotor de l'activitat constructiva d'aquest període (Padrós, 2018).

Però, a la fi d'aquest mateix segle i inicis del segle III dC, es documenten evidències d'abandonaments en part de la trama urbana així com en diverses *domus*, sobretot de la part baixa de la ciutat, la que està més pròxima a la línia de costa i a la part propera al fòrum. També a finals del segle II dC s'abandonen dues *domus* d'atri (*domus* dels Dofins i *domus* de l'Heura) construïdes en època d'August, que estaven situades a la part alta de la ciutat, a banda i banda del *cardo maximus* (Padrós i Sánchez, 2016).

Aquest fet, significatiu dins de la història de *Baetulo*, podria indicar un moment de contracció de la ciutat, que hauria consistit en un abandonament temporal de la meitat sud, que hauria ocupat el vessant més pròxim a la costa, i part de la plana del promontori on se situa, encara que, atès el caràcter parcial de les intervencions realitzades a la ciutat, no es pot assegurar que aquest procés sigui generalitzat a tot *Baetulo*. La continuïtat de la vida urbana es posaria de manifest de manera feble a partir de mitjan segle III dC, moment en què s'evidencien un seguit de factors que donen suport a la idea de continuïtat, tot i que no s'ha detectat actualment i clarament aquest nexa d'unió entre la ciutat del segle II amb la de mitjan III dC (Padrós i Sánchez, 2016).

Des del punt de vista de l'activitat edilícia desenvolupada en aquest període, destaca la reforma de la Via Augusta datada de la segona meitat del segle III dC. Finalment, la vitalitat de *Baetulo* al segle III dC que aprovada per l'existència d'elements epigràfics que documenten la perdurabilitat de la vida urbana (Padrós i Sánchez, 2016).

A tall de reflexió final podem afirmar que l'ocupació de la ciutat des dels seus orígens tardo-republicans fins almenys la segona meitat del segle III dC va ser contínua (Padrós i Sánchez, 2016).

A partir del segle IV dC, el model urbà seria més dispers i no gaire consolidat. Però la localització d'algunes estructures i abocadors permet contrastar la presència d'activitat almenys en el sector central de la ciutat (Padrós i Sánchez, 2016).

Finalment, la pervivència d'hàbitat es dona fins al segle VI dC, encara que aquest és el període menys conegut (Antequera et al, 2010).

4. METODOLOGIA

La primera part d'aquest estudi es va centrar en la recerca de bibliografia, tant general com específica. En primera instància, es va optar per la lectura de l'obra clàssica *De architectura* de Marc Vitruvi Pol·lió amb l'objectiu de realitzar una petita aproximació a l'arquitectura des del punt de vista d'un autor d'època romana. A continuació, s'aprofundí en aquest àmbit per mitjà de tres obres fonamentals en l'estudi dels processos, les tècniques i els materials emprats en les edificacions com són: *La construcción romana. Materiales y técnicas* de Jean Pierre Adam (1996), *La edilizia nell' antichità* de Cairoli Fulvio Giuliani (2018) i *Los constructores romanos: un estudio sobre el proceso arquitectónico* de Rabun Taylor (2006). Posteriorment, s'inicià la recerca de bibliografia específica sobre *Baetulo*, entre la qual destaquen memòries d'intervenció arqueològica, monografies i articles. Per a l'obtenció d'aquesta, es va contactar amb l'arqueòloga Clara Forn del Departament d'Arqueologia del Museu de Badalona.

Durant la segona part d'aquest estudi s'establiren els diversos sectors que l'integrarien, tenint en compte la informació obtinguda, el grau de conservació de les restes arqueològic-arquitectòniques, les possibilitats d'obtenir permisos d'accés als diferents espais, el temps del que es disposava per a la seva elaboració i l'extensió del mateix. Els sectors escollits per a la realització d'aquest estudi són: el Carrer de les Termes Romanes, núm. 3, la Plaça de Font i Cussó i el Carrer de les Termes Romanes, núm. 2 – cantonada amb la Plaça de l' Assemblea de Catalunya, núm. 2 (fig. 6).

Una vegada es va concedir l'accés als diferents espais gestionats per la persona i l'entitat esmentada anteriorment, es va procedir a l'observació de les restes *in situ*. Aquesta tasca s'ha dut a terme el curs acadèmic 2019-2020 i a permès contrastar la informació de la que es disposava amb les restes arqueològic-arquitectòniques.

La tercera part d'aquest estudi es va destinar a la creació d'una base dades (fig. 7), mitjançant l'ús del *software* informàtic Microsoft Access, en base a una sèrie de paràmetres, alguns d'ells extrets de la fitxa *Análisis de técnicas constructivas y procesos constructivos* (Pizzo, 2010) (fig. 8), que van permetre la posterior interpretació i, per tant, la classificació cronotipològica de les restes arqueològic-arquitectòniques.

Les variables escollides han estat, per considerar-les les més adients, les següents:

- Jaciment.
- Intervenció arqueològica.
- Tipus d'estructura (mur o fonamentació).

- Orientació
- Anàlisi de característiques constructives – tipus d'aparell (en el nostre cas carreuó i maçoneria).
- Dimensions.
- Cronologia.
- Fotografia.

La informació que hi ha a la base de dades està representada a l'apartat del treball de camp, ja que la seva realització ha depès d'aquesta.

També, es va procedir a l'elaboració de material gràfic per mitjà del registre fotogràfic realitzat durant les visites als diferents espais. El material utilitzat per a l'elaboració del material gràfic fou el següent: càmera fotogràfica SLR² model Nikon D3000 amb un objectiu Nikon AF-S DX NIKKOR 18-55mm f/3.5-5.6G VR, càmera fotogràfica APS-C³ model Canon EOS M100 amb un objectiu Canon EF-M 15-45mm f/3.5-6.3 IS STM, flexòmetre de 3m, jaló metàl·lic de secció circular d'1m amb bandes blanques i vermelles de 10cm, telèfon mòbil amb GPS i brúixola, quadern, llapis i goma d'esborrar. També s'ha fet ús del software informàtic Adobe Photoshop per a la postproducció fotogràfica (millora de la il·luminació, inclusió d'unitats estratigràfiques, l'escala i l'orientació de la presa fotogràfica). Finalment, s'elaborà material cartogràfic amb l'objectiu de complementar les explicacions facilitant la visualització dels diferents sectors fent ús de tecnologia GIS⁴ (fig. 6) amb el software informàtic QGIS. A més, s'han afegit planimetries (veure annex apartat de figures) on apareixen tots els murs i fonamentacions presents en aquest estudi amb la seva unitat estratigràfica corresponent.

² *Single Lens Reflex.*

³ *Advanced Photo System type-C.*

⁴ *Geographic Information System*

5. INTERPRETACIÓ

Les estructures estudiades són de tipus domèstic, cinc *insulae* i tres *domus*. Les *insulae* se situen entre el Carrer de les Termes Romanes número 3 i la Plaça de Font i Cussó i les *domus* al Carrer de les Termes Romanes número 2.

Pel que fa a l'emplaçament d'aquestes estructures es pot constatar que es va efectuar un aterrasament previ per salvar el desnivell que presenta el terreny entre les situades a la Plaça de Font i Cussó (punt més elevat) i les del Carrer Termes Romanes número 2 i 3.

La tipologia de les *insulae* de *Baetulo* serien del tipus I segons la classificació de les *insulae* a Ostia (Packer, 1971). Les plantes baixes estarien formades per *tabernae* i tallers, els entresols servrien d'allotjament per als artesans o botiguers i els pisos superiors es dividirien en apartaments.

La tipologia de les tres *domus* del carrer Termes Romanes núm. 2 no ha estat identificada perquè no s'han excavat en la seva totalitat. Això, ha dificultat la interpretació dels seus àmbits. Sabem, que durant la primera fase constructiva, que correspon a la fase fundacional de la ciutat, trobem dues *domus* (*domus* I i *domus* II), que es disposen en dues terrasses. A la tercera fase es construeix sobre les restes esmentades anteriorment, després d'un procés d'anivellament. Aquesta nova estructura és la *domus* adscrita a *Quintus Licinius* (Sánchez, 2011).

S'han establert vint-i-quatre tipologies, tenint en compte els murs i les fonamentacions. Aquests, en base a les seves característiques constructives, poden ser dividits en aparells de maçoneria (tenim vint-i-tres exemplars) i de carreuó (tenim un exemplar).

Els materials emprats són de tipus local: pedra, argila, morter i material constructiu i ceràmic (local i no local) reaprofitat. Les pedres tenen unes dimensions variades i els autors de les memòries d'intervenció arqueològica les defineixen com a petites, mitjanes o grans (seria més aclaridor que es definissin aquestes mides amb centímetres). Els elements que s'utilitzen per a lligar aquestes pedres, i en alguns casos altres materials, són el fang i el morter.

Els revestiments dels paraments estan fets amb una capa de morter (enlluït en alguns casos), amb o sense pintura.

A continuació mostrem una taula amb les tipologies, les seves característiques constructives, les unitats estratigràfiques que la conformen i la seva cronologia.

Tipologia	Característiques constructives	UE's	Cronologia
<i>Baetulo I</i>	Maçoneria: Aparell disposat sense filades de pedres irregulars i calçades amb pedres més petites lligades amb fang	59, 1233 ⁵ , 1273 ⁶ , 1315, 1360, 1460, 10039, 10050	Entre els segles II aC? i III dC o posterior
<i>Baetulo II</i>	Maçoneria: Aparell disposat per filades irregulars de pedres irregulars i calçades amb pedres més petites lligades amb fang	1265, 1345, 1350, 1440, 1515, 1535, 1770, 3093, 6033, 6034, 6037, 6040, 6043	A partir de l'any 70 aC? i el segle I dC
<i>Baetulo III</i>	Maçoneria: Aparell disposat sense filades de pedres irregulars lligades amb fang i morter	Desconeguda (fonamentació de la UE 1055)	Entre els segles I aC i I dC
<i>Baetulo IV</i>	Maçoneria: Aparell disposat per filades regulars de pedres irregulars lligades amb fang i morter	Desconeguda (fonamentació de la UE 1111)	Entre els segles I aC i I dC

⁵ Primera fase del mur.

⁶ Primera fase del mur.

<i>Baetulo V</i>	Maçoneria: Aparell disposat sense filades de pedres irregulars lligades amb morter	26, 67, 147, 160, 161, 162, 600, 1009, 1271, 1276, 1306, 1625, 1790, 2050, 6060, 10048, Desconeguda (fonamentació de la UE 1487, 1488 i 1815)	Entre els segles I aC i V dC
<i>Baetulo VI</i>	Maçoneria: Aparell disposat per filades regulars de pedres irregulars lligades amb morter	167, 330, 1023, 1024, 1030, 1035, 1050, 1055 ⁷ , 1055 ⁸ , 1070, 1111, 1155, 1200 ⁹ , 1274, 1475, 1487, 1488, 1550, 1698, 1792, 1793, 1804, 1812, 1815	Entre el segle I aC i V dC o posterior
<i>Baetulo VII</i>	Maçoneria: Aparell disposat per filades irregulars de pedres irregulars lligades amb fang	158, 1340, 1699, 6007, 6010, 6032, 7035	Entre els segles I aC i VI dC o posterior

⁷ Carrer de les Termes Romanes, núm. 3.

⁸ Carrer de les Termes Romanes, núm. 2.

⁹ Carrer de les Termes Romanes, núm. 3.

<i>Baetulo VIII</i>	Maçoneria: Aparell disposat sense filades de pedres irregulars lligades amb fang	360, 1157, 1158, 1200 ¹⁰ , 1325, 1702, 2047, 3507, 6055, Desconeguda (fonamentació de la UE 1701)	Entre l'any 70 aC i l'Època Medieval o Post-Medieval
<i>Baetulo IX</i>	Maçoneria: Aparell disposat sense filades de pedres irregulars i còdols lligats amb morter	2004, 2006, 2049	Segle I dC
<i>Baetulo X</i>	Maçoneria: Aparell disposat sense filades de pedres irregulars i material constructiu lligats amb morter	1461	Finals del segle I dC
<i>Baetulo XI</i>	Maçoneria: Aparell disposat sense filades de pedres irregulars i material constructiu ceràmic lligats amb morter	1508, 1690, 6029	Entre el segle I dC i el segle II dC?

¹⁰ Carrer de les Termes Romanes, núm. 2.

<i>Baetulo XII</i>	Maçoneria: Aparell disposat en filades regulars de pedres irregulars i material constructiu ceràmic lligats amb morter	1233 ¹¹ , 1273 ¹² , 13021	Entre el segle I dC i II dC?
<i>Baetulo XIII</i>	Maçoneria: Aparell disposat per filades regulars de pedres irregulars lligades amb fang	7, 18, 20, 24, 34, 134, 333, 357, 373, 374, 392, 492, 536, 1108, 1112, 1280, 1355, 1415, 1486, 1689, 1701, 1750, 1767, 1802, 3122, 3131, 3141, 6027, 6028, 10051	Entre els segles I dC i VII dC o posterior
<i>Baetulo XIV</i>	Maçoneria: Aparell disposat per filades regulars de pedres irregulars i pivots d'àmfora lligats amb fang	22007	Possiblement a partir del segle II dC
<i>Baetulo XV</i>	Maçoneria: Aparell disposat sense filades de pedres irregulars i material constructiu ceràmic lligats amb fang	1240, 1507, 9012	Entre els segles II dC i III dC o posterior

¹¹ Segona fase del mur.

¹² Segona fase del mur.

<i>Baetulo XVI</i>	Opus Vittatum	1475	Entre el segle II dC i IV dC (Adam, 1996: 148)
<i>Baetulo XVII</i>	Maçoneria: Aparell disposat per filades regulars de pedres irregulars i còdols lligats amb fang	6018	Segle V dC o posterior?
<i>Baetulo XVIII</i>	Maçoneria: Aparell disposat per filades irregulars de pedres irregulars, maons i ceràmica lligats amb morter	1002, 1003, 1004	Segle XX
<i>Baetulo XIX</i>	Maçoneria: Aparell disposat per filades irregulars de pedres irregulars lligades amb fang	1320, 1330	?
<i>Baetulo XX</i>	Maçoneria: Aparell disposat per filades regulars de pedres irregulars i calçades amb pedres més petites lligades amb fang	1255, 1260, 1275, 1285, 1295, 1310	?
<i>Baetulo XXI</i>	Maçoneria: Aparell disposat per filades regulars de pedres irregulars, fragments d'àmfores i material constructiu ceràmic lligats amb fang	1305	?

<i>Baetulo XXII</i>	Carreuó: Aparell disposat per filades regulars lligades amb morter (Pseudo-Vittatum)	1040	?
<i>Baetulo XXIII</i>	Maçoneria: Aparell disposat sense filades de pedres irregulars lligades amb morter	1500	?

Baetulo I:



Figura 55. Fotografia del mur UE 1233 (Autor).

Els murs i les fonamentacions d'aquesta tipologia són de maçoneria. El seu aparell es disposa sense filades de pedres irregulars i calçades amb pedres més petites lligades amb fang. Les unitats estratigràfiques que la componen són les següents: 59, 1233, 1273, 1315, 1360, 1460, 10039 i 10050. La cronologia assignada a *Baetulo I* es situa entre els segles II aC? i el III dC o posterior.

Baetulo II:



Figura 107. Fotografia del mur **UE 6037** modificada per l'autor (Fernández i Sánchez, 2008-2009: 38).

Els murs i les fonamentacions d'aquesta tipologia són de maçoneria. El seu aparell es disposa per filades irregulars de pedres irregulars i calçades amb pedres més petites lligades amb fang. Les unitats estratigràfiques que la componen són les següents: 1265, 1345, 1350, 1440, 1515, 1535, 1770, 3093, 6033, 6034, 6037, 6040 i 6043. La cronologia assignada a *Baetulo II* es situa entre l'any 70 aC? i el segle I dC.

Baetulo III:



Figura 119. Fotografia de la fonamentació **UE desconeguda** modificada per l'autor (Fernández i Sánchez, 2008-2009: 38).

La fonamentació d'aquesta tipologia és de maçoneria. El seu aparell es disposa sense filades de pedres irregulars lligades amb fang i morter. La unitat estratigràfica que la compon és la següent: UE desconeguda (fonamentació de la UE 1055) . La cronologia assignada a *Baetulo III* es situa entre els segles I aC i I dC.

Baetulo IV:



Figura 120. Fotografia de la fonamentació **UE desconeguda** modificada per l'autor (Fernández i Sánchez, 2008-2009: 45).

La fonamentació d'aquesta tipologia és de maçoneria. El seu aparell es disposa per filades regulars de pedres irregulars lligades amb fang i morter. La unitat estratigràfica que la compon és la següent: UE desconeguda (fonamentació de la UE 1111) . La cronologia assignada a *Baetulo IV* es situa entre els segles I aC i I dC.

Baetulo V:



Figura 59. Fotografia del mur **UE 1276** (Autor).

Els murs i les fonamentacions d'aquesta tipologia són de maçoneria. El seu aparell es disposa sense filades de pedres irregulars lligades amb morter. Les unitats estratigràfiques que la componen són les següents: 26, 67, 147, 160, 161, 162, 600, 1009, 1271, 1276, 1306, 1625, 1790, 2050, 6060, 10048 i desconeguda (fonamentació de la UE 1487, 1488 i 1815). La cronologia assignada a *Baetulo V* es situa entre els segles I aC i V dC.

Baetulo VI:



Figura 58. Fotografia del mur **UE 1274** (Autor).

Els murs i les fonamentacions d'aquesta tipologia són de maçoneria. El seu aparell es disposa per filades regulars de pedres irregulars lligades amb morter. Les unitats estratigràfiques que la componen són les següents: 167, 330, 1023, 1024, 1030, 1035, 1050, 1055, 1055, 1070, 1111, 1155, 1200, 1274, 1475, 1487, 1488, 1550, 1698, 1792, 1793, 1804, 1812 i 1815. La cronologia assignada a *Baetulo VI* es situa entre els segles I aC i V dC o posterior.

Baetulo VII:



Figura 105. Fotografia del mur **UE 6032** (Autor).

Els murs i les fonamentacions d'aquesta tipologia són de maçoneria. El seu aparell es disposa per filades irregulars de pedres irregulars lligades amb fang. Les unitats estratigràfiques que la componen són les següents: 158, 1340, 1699, 6007, 6010, 6032 i 7035. La cronologia assignada a *Baetulo VII* es situa entre els segles I aC i VI dC o posterior.

Baetulo VIII:



Figura 64. Fotografia del mur **UE 1325** modificada per l'autor (Sánchez, 2011: 135).

Els murs i les fonamentacions d'aquesta tipologia són de maçoneria. El seu aparell es disposa sense filades de pedres irregulars lligades amb fang. Les unitats estratigràfiques que la componen són les següents: 360, 1157, 1158, 1200, 1325, 1702, 2047, 3507, 6055 i desconeguda (fonamentació de la UE 1701). La cronologia assignada a *Baetulo VIII* es situa entre l'any 70 aC i l'Època Medieval o Post-Medieval.

Baetulo IX:



Figura 91. Fotografia de la fonamentació **UE 2004** modificada per l'autor (Fernández et al, 2009-2010: 58).

Les fonamentacions d'aquesta tipologia són de maçoneria. El seu aparell es disposa sense filades de pedres irregulars i còdols lligats amb morter. Les unitats estratigràfiques que la componen són les següents: 2004, 2006 i 2049. La cronologia assignada a *Baetulo IX* es situa al segle I dC.

Baetulo X:

No es disposa de cap fotografia sobre aquesta tipologia.

El mur d'aquesta tipologia és de maçoneria. El seu aparell es disposa sense filades de pedres irregulars i material constructiu lligats amb morter. La unitat estratigràfica que la compon és la següent: 1461. La cronologia assignada a *Baetulo X* es situa a finals del segle I dC.

Baetulo XI:



Figura 104. Fotografia del mur **UE 6029** i el revestiment UE 6048 (Autor).

Els murs i la fonamentació d'aquesta tipologia són de maçoneria. El seu aparell es disposa sense filades de pedres irregulars i material constructiu ceràmic lligats amb morter. Les unitats estratigràfiques que la componen són les següents: 1508, 1690, 6029. La cronologia assignada a *Baetulo XI* es situa entre els segles I dC i II dC?.

Baetulo XII:



Figura 115. Fotografia del mur **UE 13021** modificada per l'autor (Ferrer i Sánchez, 2010: 101).

Els murs i la fonamentació d'aquesta tipologia són de maçoneria. El seu aparell es disposa per filades regulars de pedres irregulars i material constructiu ceràmic lligats amb morter. Les unitats estratigràfiques que la componen són les següents: 1233, 1273 i 13021. La cronologia assignada a *Baetulo XII* es situa entre els segles I dC i II dC?.

Baetulo XIII:



Figura 19. Fotografia de la fonamentació UE **24** modificada per l'autor (Fernández et al, 2009-2010: 24).

Els murs i les fonamentacions d'aquesta tipologia són de maçoneria. El seu aparell es disposa per filades regulars de pedres irregulars lligades amb fang. Les unitats estratigràfiques que la componen són les següents: 7, 18, 20, 24, 34, 134, 333, 357, 373, 374, 392, 492, 536, 1108, 1112, 1280, 1355, 1415, 1486, 1689, 1701, 1750, 1767, 1802, 3122, 3131, 3141, 6027, 6028 i 10051. La cronologia assignada a *Baetulo XIII* es situa entre els segles I dC i VII dC o posterior.

Baetulo XIV:



Figura 116. Fotografia del mur i fonament **UE 22007** modificada per l'autor (Fernández et al, 2009-2010: 71).

La fonamentació d'aquesta tipologia és de maçoneria. El seu aparell es disposa per filades regulars de pedres irregulars i pivots d'àmfora lligats amb fang. La unitat estratigràfica que la compon és la següent: 22007. La cronologia assignada a *Baetulo XIV* es situa a partir del segle II dC.

Baetulo XV:



Figura 110. Fotografia del mur **UE 9012** modificada per l'autor (Ferrer i Sánchez, 2010: 61).

Els murs d'aquesta tipologia són de maçoneria. El seu aparell es disposa sense filades de pedres irregulars i material constructiu ceràmic lligats amb fang. Les unitats estratigràfiques que la componen són les següents: 1240, 1507 i 9012. La cronologia assignada a *Baetulo XV* es situa entre els segles II dC i III dC o posterior.

Baetulo XVI:



Figura 70. Fotografia de la fonamentació **UE 1475** modificada per l'autor (Sánchez, 2011: 160).

La fonamentació d'aquesta tipologia és una mena d'*opus vittatum*. El seu aparell es disposa per filades regulars de pedres regulars lligades amb morter. La unitat estratigràfica que la compon és la següent: 1475. La cronologia assignada a *Baetulo XVI* es situa entre els segles II dC i IV dC (Adam, 1996: 148).

Baetulo XVII:



Figura 101. Fotografia del mur **UE 6018** modificada per l'autor (Fernández et al, 2008-2009: 42).

El mur d'aquesta tipologia és de maçoneria. El seu aparell es disposa per filades regulars de pedres irregulars i còdols lligats amb fang. La unitat estratigràfica que la compon és la següent: 6018. La cronologia assignada a *Baetulo XVII* es situa al segle V dC o posterior?

Baetulo XVIII:



Figura 35. Fotografia del mur **UE 1002** modificada per l'autor (Sánchez, 2011: 194).

Els murs d'aquesta tipologia són de maçoneria. El seu aparell es disposa per filades irregulars de pedres irregulars, maons i ceràmica lligats amb morter. Les unitats estratigràfiques que la componen són les següents: 1002, 1003 i 1004. La cronologia assignada a *Baetulo XVIII* es situa al segle XX.

Baetulo XIX:



Figura 65. Fotografia de la fonamentació **UE 1330** modificada per l'autor (Sánchez, 2011: 136).

Les fonamentacions d'aquesta tipologia són de maçoneria. El seu aparell es disposa per filades irregulars de pedres irregulars lligades amb fang. Les unitats estratigràfiques que la componen són les següents: 1320 i 1330. No es disposa de cronologia.

Baetulo XX:

No es disposa de cap fotografia sobre aquesta tipologia.

Els murs d'aquesta tipologia són de maçoneria. El seu aparell es disposa per filades regulars de pedres irregulars i calçades amb pedres més petites lligades amb fang. Les unitats estratigràfiques que la componen són les següents: 1255, 1260, 1275, 1285, 1295 i 1310. No es disposa de cronologia.

Baetulo XXI:



Figura 61. Fotografia del mur **UE 1305** modificada per l'autor (Sánchez, 2011: 33).

El mur d'aquesta tipologia és de maçoneria. El seu aparell es disposa per filades regulars de pedres irregulars, fragments d'àmfores i material constructiu ceràmic lligats amb fang. La unitat estratigràfica que la compon és la següent: 1305. No es disposa de cronologia.

Baetulo XXII:



Figura 42. Fotografia de la fonamentació **UE 1040** modificada per l'autor (Sánchez, 2011: 168).

La fonamentació d'aquesta tipologia és de carreuó. El seu aparell es disposa per filades regulars lligades amb morter (*pseudo-vittatum*). La unitat estratigràfica que la compon és la següent: 1040. No es disposa de cronologia.

Baetulo XXIII:



Figura 73. Fotografia de la fonamentació **UE 1500** modificada per l'autor (Sánchez, 2011: 161).

La fonamentació d'aquesta tipologia és de maçoneria. El seu aparell es disposa sense filades de pedres irregulars lligades amb morter. La unitat estratigràfica que la compon és la següent: 1500. No es disposa de cronologia.

6. CONCLUSIONS

Degut a l'emergència sanitària per COVID-19 no s'ha pogut realitzar la totalitat del reportatge fotogràfic ni l'observació de totes les restes arqueològiques *in situ*. Per aquest motiu, l'estudi s'ha centrat en les memòries d'excavació arqueològica.

Malgrat les dificultats creiem que s'han pogut assolir els objectius principals de l'estudi i, per tant, la classificació crono-tipològica de les restes arqueològiques. Per a relacionar les tipologies amb les cronologies, s'han agrupat les diferents unitats estratigràfiques en funció de les seves característiques constructives comuns i això ha donat peu a establir un marc cronològic, que no pot ser més específic perquè està basat en les fases constructives que atribueixen els autors a les diferents memòries d'intervenció arqueològica. Aquests, han datat les fases en base als materials obtinguts en cadascun dels estrats. Ens hagués agradat fer-ho per mitjà de l'estudi de les unitats estratigràfiques muraries (UEM) o lectura de paraments, però això escaparia a l'amplitud d'aquest tipus d'estudi. Per això, no podem determinar que a cada època li correspongui un tipus concret. A més, cal sumar altres dificultats afegides com són: l'estat de conservació i la baixa qualitat constructiva de les restes arqueològiques.

També, creiem interessant la creació d'una base de dades com la realitzada aquí (fig. 7) per a conèixer amb més profunditat les característiques constructives utilitzades durant l'antiguitat a la Península Ibèrica.

Al llarg d'aquest estudi ens hem adonat d'una divergència força significativa pel que fa als responsables de les construccions, que s'enllaçaria amb una vella discussió historiogràfica replantejada per S. Keay on es donen tres possibles escenaris sobre qui serien els constructors: els romans, les comunitats indígenes sota la direcció d'enginyers romans, o les comunitats indígenes per iniciativa pròpia (Guitart, 2009).

Les característiques constructives dels murs i les fonamentacions de les *insulae* del carrer Termes Romanes núm. 3 i la plaça de Font i Cussó (fig. 9) disten molt de les utilitzades en ciutats de la península itàlica com, per exemple, Ostia. En aquesta ciutat, trobem una combinació de maons i pedres (*opus testaceum* i *opus mixtum*) (Ulrich, 2014). En canvi, a *Baetulo*, veiem una escassa presència de *lateres crudi*, cosa que ens fa pensar en la possibilitat de que els constructors fossin autòctons sota la direcció d'arquitectes romans.

D'altra banda, els murs i les fonamentacions de les *domus* del Carrer de les Termes Romanes núm. 2 tampoc s'assemblen als de les ciutats de la península itàlica i, en alguns casos, als de la península ibèrica. Exemples d'aquesta divergència els podem trobar a la *Domus* de los Pájaros d'*Italica*, del segle I dC, amb un aparell disposat per filades regulars de maons lligats amb morter (*opus testaceum*), i a la *Domus del Ninfeo* d'Ostia, del segle II aC, amb un aparell d'*opus mixtum* (*opus testaceum* i *opus vittatum*). Per tant, això reforçaria la idea de que els constructors fossin autòctons.

Si bé es cert que els romans també utilitzaven la pedra per a les construccions d'*insulae* i *domus*, sovint, solien fer ús de tècniques per a treballar-la i donar-li un aspecte i mides similars a les dels maons, contràriament al que trobem a la ciutat tractada on només hi ha uns pocs exemplars de pedres parcialment treballades. Trobem exemples de pedres amb aquestes característiques a la *Domus* dels mosaics d'Empúries (segle I aC), a la *Domus* del rellotge de sol a *Baelo Claudia* (jaciment amb unes cronologies similars a *Baetulo* pel que fa a la seva fundació), a la *Insula II* de la Colonia Celsa (segle I aC), etc. D'altra banda, observem que aquestes pedres parcialment treballades tenen una major presència i qualitat a les *domus* respecte a les *insulae*. Possiblement, això es degué a una major capacitat econòmica per part dels propietaris de les *domus*.

Finalment, resulta difícil d'entendre perquè s'utilitza tan profusament la pedra quan, precisament, les característiques positives que van afavorir la difusió del maó van ser la seva forma regular, un pes menor que la pedra a paritat de resistència, la seva composició i estructura homogènia i era més fàcil de controlar (Giuliani, 2018). A més, sabem que es una zona que disposa d'argiles (veure context geològic) amb les quals es degué produir material ceràmic amfòric a les terrisseries locals per a l'exportació del vi de la Laietània.

7. BIBLIOGRAFIA

ADAM, J. P., 1996, *La construcción romana. Materiales y técnicas*, Editorial de los Oficios, León.

ANTEQUERA, F., PADRÓS, P., RIGO, A., VÁZQUEZ, D., 2010, El *suburbium* occidental de *Baetulo*, a D. VAQUERIZO (ed.), *Las áreas suburbanas en la Ciudad histórica. Topografía, usos, función*, Monografías de Arqueología Cordobesa, Córdoba, 173-210.

AZKARATE, A., CABALLERO, L., QUIRÓS, J. A., 2002, Arqueología de la Arquitectura: definición disciplinar y nuevas perspectivas. *Arqueología de la Arquitectura*, núm. 1 [en línea]. Consulta: 16 de noviembre de 2019. Disponible a <<http://arqarqt.revistas.csic.es/index.php/arqarqt/article/view/1/1>>

BERT, M., GIRALT, J., 1982, El clima mediterrani, microclimes i vegetació de Badalona, *Carrer dels Arbres: Revista anuari del Museu de Badalona*, núm. 30 [en línea]. Consulta: 16 de noviembre de 2019. Disponible a <<https://www.raco.cat/index.php/CarrerArbres/article/view/296416/385359>>

BOFILL, G., PRAT, N., 1982, Hidrografia de Badalona, *Carrer dels Arbres: Revista anuari del Museu de Badalona*, núm. 29 [en línea]. Consulta: 16 de noviembre de 2019. Disponible a <<https://www.raco.cat/index.php/CarrerArbres/article/view/296413/385339>>

BOFILL, G., PRAT, N., 1982, Situació i relleu de Badalona, *Carrer dels Arbres: Revista anuari del Museu de Badalona*, núm. 29 [en línea]. Consulta: 16 de noviembre de 2019. Disponible a <<https://www.raco.cat/index.php/CarrerArbres/article/view/296412/385338>>

CARANDINI, A., 1997, *Historias en la tierra. Manual de excavación arqueológica*, Crítica, Barcelona.

COMAS, M. i PADRÓS, P., 1992, *Baetulo: ciutat romana*, Museu de Badalona, Badalona.

FERNÁNDEZ, A., FERRER, C. i SÁNCHEZ, J., 2009-2010, Memòria de la Intervenció Arqueològica al subsòl del Museu de Badalona, *Informe d'afectació del conjunt arqueològic de Font i Cussó, carrer de les Termes Romanes, núm. 3, i termes romanes*, Volum IV, Badalona. Mem. Núm.: 10221.

FERNÁNDEZ, A., FERRER, C. i SÁNCHEZ, J., 2009-2010, Memòria de la Intervenció Arqueològica al subsòl del Museu de Badalona 2008-2010, *Memòria de la intervenció arqueològica a la plaça Font i Cussó*, Volum II, Badalona. Mem. Núm.: 10221.

FERNÁNDEZ, A. i SÁNCHEZ, J., 2008-2009, Memòria de la Intervenció Arqueològica al subsòl del Museu de Badalona 2008-2010, *C/ Termes Romanes, núm. 3, Connexió termes romanes amb l'àrea arqueològica de Font i Cussó*, Volum I, Badalona. Mem. Núm.: 10221.

FERRER, C. i SÁNCHEZ, J., 2010, Memòria de la Intervenció Arqueològica al subsòl del Museu de Badalona 2008-2010, *Memòria de la intervenció arqueològica a la plaça Font i Cussó*, Volum III, Badalona. Mem. Núm.: 10221.

GIULIANI, C.F., 2018, *La edilizia nell' antichità*, Carocci Editore, Roma.

GUITART, J., 2009, L'origen de les primeres ciutats romanes de Catalunya. Una aproximació des de l'arqueologia, *Catalan Historical Review*, núm. 3 [en línia]. Consulta: 28 de maig de 2019. Disponible a <<https://www.raco.cat/index.php/CatalanHistoricalReview/article/view/62740/311819>>

GUITART, J., 1976, *Baetulo: topografia arqueològica, urbanismo e historia*, Museo municipal, Badalona.

GUITART, J. i PADRÓS, P., 1991, La ciutat romana de Baetulo (Badalona): història i urbanisme, *Espais: Revista del Departament de Política Territorial i Obres Públiques*, núm. 31 [en línia]. Consulta: 16 de novembre de 2019. Disponible a <<https://www.raco.cat/index.php/Espais/article/view/91382/159223>>

HARRIS, E. C., 1991, *Principios de Estratigrafía Arqueológica*, Crítica, Barcelona.

OLESTI, O., 2000, Integració i transformació de les comunitats ibèriques del Maresme durant el s. II-I aC. Un model de romanització per a la Catalunya Litoral i Prelitoral, *Empúries*, núm. 52 [en línia]. Consulta: 24 de maig de 2019. Disponible a <<https://www.raco.cat/index.php/Empuries/article/view/118538/288289>>

PACKER, J. E., 1971, *The Insulae of Imperial Ostia (Memoirs of the American Academy in Rome, XXXI)*, American Academy in Rome, Roma.

PADRÓS, P., 2018, Pattern of introduction of coinage according to the archaeological record. The case of the roman town of Baetulo in the north-eastern coast of Hispania. 1st century BC – 1st century AD, a G. PARDINI, N. PARISE i F. MARANI (ed.), *Numismatica e Archeologia. Monete, stratigrafie e contesti. Dati a confronto. Workshop Internazionale di Numismatica*, Edizioni Quasar, Roma, 573-582.

PADRÓS, P., 2009, Contextos estratigráficos y circulación monetària en el área central de la Ciudad romana de *Baetulo* (Badalona), a A. ARÉVALO (ed.), *XIII Congreso Nacional de Numismática. "Moneda y Arqueología". Cádiz 22-24 de octubre de 2007. Tomo I*, Cádiz, 387-412.

PARÉS, J. M., 1982, La geologia de Badalona, *Carrer dels Arbres: Revista anuari del Museu de Badalona*, núm. 29 [en línia]. Consulta: 16 de novembre de 2019. Disponible a <<https://www.raco.cat/index.php/CarrerArbres/article/view/296414/385349>>

PADRÓS, P. i SÁNCHEZ, J., 2016, Transformació de l'espai urbà a la ciutat romana de *Baetulo* del segle II al IV dC. *Carrer dels arbres: Revista digital d'història i patrimoni de Badalona*, núm. 2 [en línia]. Consulta: 16 de novembre de 2019. Disponible a <https://www.museudebadalona.cat/wp-content/uploads/DESCARREGAT_LA_REVISTA-1.pdf>

PADRÓS, P. i SÁNCHEZ, J., 2011, Baetulo, a J. A. REMOLÀ i J. ACERO (ed.), *La gestión de los residuos urbanos en Hispania*, Anejos de AEspA LX, Mérida, 215-232.

PIZZO, A., 2010, Propuesta para la documentación y clasificación de las técnicas constructivas romanas, *Arqueología de la Arquitectura*, núm. 7 [en línia]. Consulta: 16 de noviembre de 2019. Disponible a: <<http://arqarqt.revistas.csic.es/index.php/arqarqt/article/viewFile/123/119>>

QUIRÓS, J. A., 2002, Arqueología de la Arquitectura en España, *Arqueología de la Arquitectura*, núm. 1 [en línia]. Consulta: 16 de noviembre de 2019. Disponible a <<http://arqarqt.revistas.csic.es/index.php/arqarqt/article/view/4/4>>

REVILLA, V., 2004, El poblamiento rural en el noreste de Hispania entre los siglos II aC y I dC: Organización y dinámicas culturales i socioeconómicas, a T. CHAPA i P. MORET (ed.), *Torres, atalayas y cases fortificadas. Explotación y control del tereritorio en Hispania (S. III a. de C. – S. I d. de C.)*, Jaén, 175-202.

RIERA, S., 1994, *Evolució del paisatge vegetal holocè al Pla de Barcelona, a partir de les dades pol·líniques*, Universitat de Barcelona, Barcelona.

SÁNCHEZ, J., 2011, Memòria de la Intervenció Arqueològica al carrer Termes Romanes, núm. 2, cantonada amb la plaça Assemblea de Catalunya, núm. 2., Volum III, Badalona. Mem. Núm.: 11138.

SÁNCHEZ, J., 2011, Memòria de la Intervenció Arqueològica al carrer Termes Romanes, núm. 2, cantonada amb la plaça Assemblea de Catalunya, núm. 2., Volum II, Badalona. Mem. Núm.: 11138.

SÁNCHEZ, J., 2011, Memòria de la Intervenció Arqueològica al carrer Termes Romanes, núm. 2, cantonada amb la plaça Assemblea de Catalunya, núm. 2., Volum I, Badalona. Mem. Núm.: 11138.

SÁNCHEZ, J., 2009, *Evolució arquitectònica i urbanística de les restes arqueològiques de la Plaça de Font i Cussó de Badalona*, Informe realitzat per al Museu de Badalona, Inèdit.

TAYLOR, R., 2006, *Los constructores romanos: un estudio sobre el proceso arquitectónico*, Akal, Madrid.

ULRICH, R. B., 2014, Courtyard Architecture in the *Insulae* of Ostia Antica, a R. B. ULRICH i C. K. QUENEMOEN (ed.), *A companion to Roman Architecture*, Wiley Blackwell, Chichester, 324-341.

VILLARROYA, J., ABRAS, M., CARRERAS, M., CASALS, N., COMAS, M., GARCÍA, F., GUITART, J., NIETO, M. D., PADRÓ, J., PADRÓS, P., ROSÀS, J., SABATER, J. M., 1999, *Història de Badalona*, Museu de Badalona, Badalona.

VITRUVIO, 2018, *Los diez libros de Arquitectura*, Alianza Editorial, Madrid.

8. ANNEX

8. 1. TREBALL DE CAMP

UE 7 (Fernández et al, 2009-2010)

Jaciment: Baetulo.

Intervenció arqueològica: Plaça de Font i Cussó (fig. 14).

Tipus d'estructura: Mur.

Orientació: NO-SE.

Característiques constructives: Filades de pedres irregulars lligades amb fang.

Dimensions: 2,4 x 0,6 x 0,4 m.

Cronologia: A partir del segle III dC, possiblement del segle V dC.

Fotografia:



Figura 16. Fotografia del mur UE 7 modificada per l'autor (Fernández et al, 2009-2010).

UE 18 (Fernández et al, 2009-2010)

Jaciment: Baetulo.

Intervenció arqueològica: Plaça de Font i Cussó (fig. 14).

Tipus d'estructura: Probablement es tracta d'una fonamentació de la UE desconeguda¹³.

Orientació: NO-SE.

Característiques constructives: A sac de filades de pedres irregulars lligades amb fang, de les quals només en queden dues.

Dimensions: 1,8 x 0,6 x 0,46 m.

Cronologia: A partir del segle III dC, possiblement del segle V dC.

Fotografia:



Figura 17. Fotografia de la possible fonamentació **UE 18** modificada per l'autor (Fernández et al, 2009-2010).

¹³ S'atribueix la mateixa unitat estratigràfica que al mur o no apareix a la memòria d'intervenció arqueològica.

UE 20 (Fernández et al, 2009-2010)

Jaciment: Baetulo.

Intervenció arqueològica: Plaça de Font i Cussó (fig. 14).

Tipus d'estructura: Probablement es tracta d'una fonamentació de la UE desconeguda.

Orientació: NO-SE.

Característiques constructives: Filades de pedres irregulars lligades amb fang, de les quals només es conserva una.

Dimensions: 3,66 x 0,7 x 0,45 m.

Cronologia: A partir del segle III dC, possiblement del segle V dC.

Fotografia:



Figura 18. Fotografia de la possible UE 20 modificada per l'autor (Fernández et al, 2009-2010).

UE 24 (Fernández et al, 2009-2010)

Jaciment: Baetulo.

Intervenció arqueològica: Plaça de Font i Cussó (fig. 14).

Tipus d'estructura: Fonamentació de la **UE desconeguda**.

Orientació: NO-SE.

Característiques constructives: Filada de pedres irregulars lligades amb fang.

Dimensions: 3,4 x 0,6 x 0,2 m.

Cronologia: Possiblement del segle V dC.

Fotografia:



Figura 19. Fotografia de la fonamentació UE **24** modificada per l'autor (Fernández et al, 2009-2010).

UE 26 (Fernández et al, 2009-2010)

Jaciment: Baetulo.

Intervenció arqueològica: Plaça de Font i Cussó (fig. 14).

Tipus d'estructura: Fonamentació de la **UE desconeguda**.

Orientació: NO-SE.

Característiques constructives: A sac amb pedres irregulars de grans dimensions que en alguns casos es lliguen amb calç.

Dimensions:

Part occidental 0,8 x 0,6 x 0,5 m.

Part oriental 0,95 x 0,6 x 0,4 m.

Cronologia: Segle V dC.

Fotografia:



Figura 20. Fotografia de la fonamentació **UE 26** modificada per l'autor (Fernández et al, 2009-2010).

UE 34 (Fernández et al, 2009-2010)

Jaciment: Baetulo.

Intervenció arqueològica: Plaça de Font i Cussó (fig. 14).

Tipus d'estructura: Fonamentació de la **UE 7**.

Orientació: NO-SE.

Característiques constructives: A sac filades de pedres irregulars lligades amb fang.

Dimensions: 2,4 x 0,62 x 0,45 m.

Cronologia: A partir del segle III dC, possiblement del segle V dC.

Fotografia:



Figura 21. Fotografia de la fonamentació **UE 34** modificada per l'autor (Fernández et al, 2009-2010).

UE 59 (Ferrer i Sánchez, 2010)

Jaciment: Baetulo.

Intervenció arqueològica: Plaça de Font i Cussó (fig. 12).

Tipus d'estructura: Mur.

Orientació: NE-SO.

Característiques constructives: Pedres irregulars de mitjanes dimensions que estaven calçades amb altres més petites i lligades entre elles amb fang.

Dimensions: No s'ha pogut prendre les mesures per la crisi sanitària per COVID-19.

Cronologia: Entre els segles II aC i I aC (Època Tardorepublicana)?

Fotografia: No s'ha pogut realitzar per la crisi sanitària per COVID-19 i no hi ha cap fotografia dins la memòria d'intervenció arqueològica.

UE 67 (Fernández et al, 2009-2010)

Jaciment: Baetulo.

Intervenció arqueològica: Plaça de Font i Cussó (fig. 14).

Tipus d'estructura: Mur.

Orientació: NE-SO.

Característiques constructives: Maçoneria de pedres i morter de calç.

Dimensions: 1,23 x 0,81 m.

Cronologia: Possiblement segle II dC.

Fotografia: Es va desmuntar i no hi ha cap fotografia dins la memòria d'intervenció arqueològica.

UE 134 (Fernández et al, 2009-2010)

Jaciment: Baetulo.

Intervenció arqueològica: Plaça de Font i Cussó (fig. 14).

Tipus d'estructura: Fonamentació de la **UE desconeguda**.

Orientació: NO-SE.

Característiques constructives: A sac filades de pedres irregulars lligades amb fang.

Dimensions: 1,5 x 0,6 x 0,20 m.

Cronologia: A partir del segle VI dC.

Fotografia:



Figura 22. Fotografia de la fonamentació **UE 134** modificada per l'autor (Fernández et al, 2009-2010).

UE 147 (Ferrer i Sánchez, 2010)

Jaciment: Baetulo.

Intervenció arqueològica: Plaça de Font i Cussó (fig. 12).

Tipus d'estructura: Mur.

Orientació: NE-SO.

Característiques constructives: Maçoneria de morter de calç i pedres.

Dimensions: No s'ha pogut mesurar per la crisi sanitària per COVID-19.

Cronologia: Segle V dC?

Fotografia: No s'ha pogut realitzar per la crisi sanitària per COVID-19 i no hi ha cap fotografia dins la memòria d'intervenció arqueològica.

UE 158 (Fernández et al, 2009-2010)

Jaciment: Baetulo.

Intervenció arqueològica: Plaça de Font i Cussó (fig. 14).

Tipus d'estructura: Fonamentació de la **UE desconeguda**.

Orientació: Lleugerament desviada respecte a l'orientació de la UE 148.

Característiques constructives: A sac filades de pedres irregulars lligades amb fang.

Dimensions: 1,3 x 0,6 x 0,4 m.

Cronologia: A partir del segle V dC.

Fotografia:



Figura 23. Fotografia de la fonamentació **UE 158** modificada per l'autor (Fernández et al, 2009-2010).

UE 160 (Ferrer i Sánchez, 2010)

Jaciment: Baetulo.

Intervenció arqueològica: Plaça de Font i Cussó (fig. 12).

Tipus d'estructura: Mur.

Orientació: NO-SE.

Característiques constructives: Maçoneria de morter de calç i pedres.

Dimensions: No s'ha pogut prendre les mesures per la crisi sanitària per COVID-19.

Cronologia: Segle V dC?

Fotografia: No s'ha pogut realitzar per la crisi sanitària per COVID-19 i no hi ha cap fotografia a la memòria d'intervenció arqueològica.

UE 161 (Ferrer i Sánchez, 2010)

Jaciment: Baetulo.

Intervenció arqueològica: Plaça de Font i Cussó (fig. 12).

Tipus d'estructura: Mur.

Orientació: NO-SE.

Característiques constructives: Maçoneria de morter de calç i pedres.

Dimensions: No s'ha pogut prendre les mesures per la crisi sanitària per COVID-19.

Cronologia: Segle V dC?

Fotografia: No s'ha pogut realitzar per la crisi sanitària per COVID-19 i no hi ha cap fotografia dins la memòria d'intervenció arqueològica.

UE 162 (Ferrer i Sánchez, 2010)

Jaciment: Baetulo.

Intervenció arqueològica: Plaça de Font i Cussó (fig. 12).

Tipus d'estructura: Mur.

Orientació: NE-SO.

Característiques constructives: Maçoneria de morter de calç i pedres.

Dimensions: No s'ha pogut prendre les mesures per la crisi sanitària per COVID-19.

Cronologia: Segle V dC?

Fotografia: No s'ha pogut realitzar per la crisi sanitària per COVID-19 i no hi ha cap fotografia dins la memòria d'intervenció arqueològica.

UE 167 (Fernández et al, 2009-2010)

Jaciment: Baetulo.

Intervenció arqueològica: Plaça de Font i Cussó (fig. 14).

Tipus d'estructura: Mur.

Orientació: NO-SE.

Característiques constructives: Maçoneria de morter de calç de color grisenc amb partícules gruixudes de calç.

Dimensions: 3,2 x 0,45 x 0,20 m.

Cronologia: A partir del segle V dC.

Fotografia:



Figura 24. Fotografia del mur **UE 167** modificada per l'autor (Fernández et al, 2009-2010).

UE 330 (Ferrer i Sánchez, 2010)

Jaciment: Baetulo.

Intervenció arqueològica: Plaça de Font i Cussó (fig. 12).

Tipus d'estructura: Mur.

Orientació: NE-SO.

Característiques constructives: Maçoneria de pedres i morter de calç.

Dimensions: No s'ha pogut prendre les mesures per la crisi sanitària per COVID-19.

Cronologia: Segle II dC?

Fotografia:



Figura 25. Fotografia del mur **UE 330** modificada per l'autor (Sánchez, 2009).

UE 333 (Fernández et al, 2009-2010)

Jaciment: Baetulo.

Intervenció arqueològica: Plaça de Font i Cussó (fig. 14).

Tipus d'estructura: Fonamentació de la **UE desconeguda**.

Orientació: ENE-OSO.

Característiques constructives: A sac filades de pedres irregulars lligades amb fang.

Dimensions: 3,85 x 0,6 x 0,2 m.

Cronologia: Possiblement a partir del segle VII dC.

Fotografia:



Figura 26. Fotografia de la fonamentació **UE 333** modificada per l'autor (Fernández et al, 2009-2010).

UE 357 (Fernández et al, 2009-2010)

Jaciment: Baetulo.

Intervenció arqueològica: Plaça de Font i Cussó (fig. 14).

Tipus d'estructura: Fonamentació de la **UE desconeguda**.

Orientació: NO-SE.

Característiques constructives: Filades de pedres irregulars lligades amb terra argilosa, algunes de les quals es disposen en diagonal.

Dimensions: 3,25 x 0,45 x 0,25 m.

Cronologia: A partir del segle III dC, construït possiblement al segle V dC.

Fotografia:



Figura 27. Fotografia de la fonamentació **UE 357** modificada per l'autor (Fernández et al, 2009-2010).

UE 360 (Fernández et al, 2009-2010)

Jaciment: Baetulo.

Intervenció arqueològica: Plaça de Font i Cussó (fig. 14).

Tipus d'estructura: Fonamentació de la **UE desconeguda**.

Orientació: NNO-SSE.

Característiques constructives: A sac amb filades de pedres irregulars lligades amb fang de les quals només es conserva una.

Dimensions: 1,4 x 0,6 x 0,25 m.

Cronologia: A partir del segle VII dC.

Fotografia:

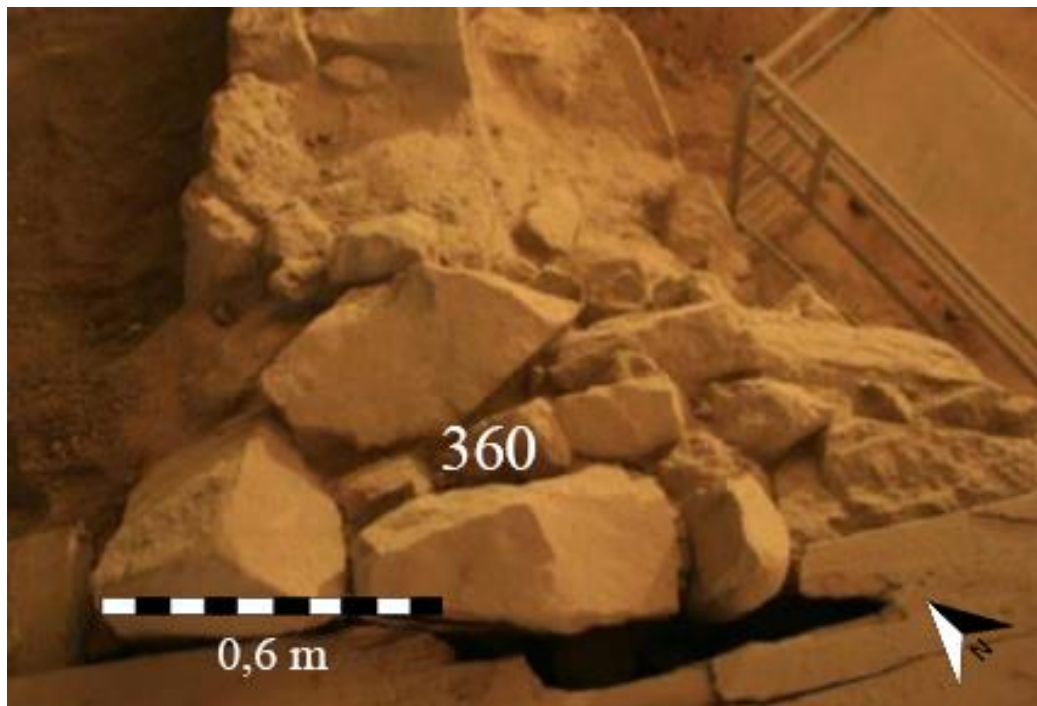


Figura 28. Fotografia de la fonamentació **UE 360** modificada per l'autor (Fernández et al, 2009-2010).

UE 373 (Fernández et al, 2009-2010)

Jaciment: Baetulo.

Intervenció arqueològica: Plaça de Font i Cussó (fig. 14).

Tipus d'estructura: Fonamentació de la **UE desconeguda**.

Orientació: NNO-SSE.

Característiques constructives: A sac amb filades de pedres irregulars lligades amb fang de les quals només es conserven dues.

Dimensions: 3,04 x 0,6 x 0,40 m.

Cronologia: A partir del segle VII dC.

Fotografia:



Figura 29. Fotografia de la fonamentació **UE 373** modificada per l'autor
(Fernández et al, 2009-2010)

UE 374 (Fernández et al, 2009-2010)

Jaciment: Baetulo.

Intervenció arqueològica: Plaça de Font i Cussó (fig. 14).

Tipus d'estructura: Fonamentació de la **UE desconeguda**.

Orientació: ENE-OSO.

Característiques constructives: A sac amb filades de pedres irregulars de granit i roca sorrenca lligades amb fang de les quals només es conserven dues.

Dimensions: 5,63 x 0,6 x 0,4 m.

Cronologia: A partir del segle VII dC.

Fotografia:



Figura 30. Fotografia de la fonamentació **UE 374** modificada per l'autor (Fernández et al, 2009-2010).

UE 392 (Fernández et al, 2009-2010)

Jaciment: Baetulo.

Intervenció arqueològica: Plaça de Font i Cussó (fig. 14).

Tipus d'estructura: Fonamentació de la **UE desconeguda**.

Orientació: NO-SE.

Característiques constructives: A sac de filades de pedres irregulars lligades amb fang de les quals només es conserva una.

Dimensions: 2,2 x 0,45 x 0,20 m.

Cronologia: A partir del segle V dC.

Fotografia:



Figura 31. Fotografia de la fonamentació **UE 392** modificada per l'autor (Fernández et al, 2009-2010).

UE 492 (Ferrer i Sánchez, 2010)

Jaciment: Baetulo.

Intervenció arqueològica: Plaça de Font i Cussó (fig. 12).

Tipus d'estructura: Fonamentació del mur **UE desconeguda**.

Orientació: NE-SO.

Característiques constructives: Filada de pedres irregulars, lligades amb fang.

Dimensions: No s'ha pogut prendre les mesures per la crisi sanitària per COVID-19.

Cronologia: A partir del segle IV dC.

Fotografia:



Figura 32. Fotografia de la fonamentació del mur **UE 492** modificada per l'autor (Ferrer i Sánchez, 2010)

UE 536 (Fernández et al, 2009-2010)

Jaciment: Baetulo.

Intervenció arqueològica: Plaça de Font i Cussó (fig. 14).

Tipus d'estructura: Fonamentació de la **UE desconeguda**.

Orientació: NO-SE.

Característiques constructives: A sac amb filades de pedres irregulars lligades amb terra argilosa de la que només es conserven dues filades.

Dimensions: 7 x 0,4 x 0,25 m.

Cronologia: A partir del segle V dC.

Fotografia:



Figura 33. Fotografia de la fonamentació **UE 536** modificada per l'autor (Fernández et al, 2009-2010).

UE 600 (Ferrer i Sánchez, 2010)

Jaciment: Baetulo.

Intervenció arqueològica: Plaça de Font i Cussó (fig. 12).

Tipus d'estructura: Mur.

Orientació: NE-SO.

Característiques constructives: Maçoneria de morter de calç de color blanquinós.

Dimensions: No s'ha pogut prendre les mesures per la crisi sanitària per COVID-19.

Cronologia: Finals del segle I dC i II dC.

Fotografia:

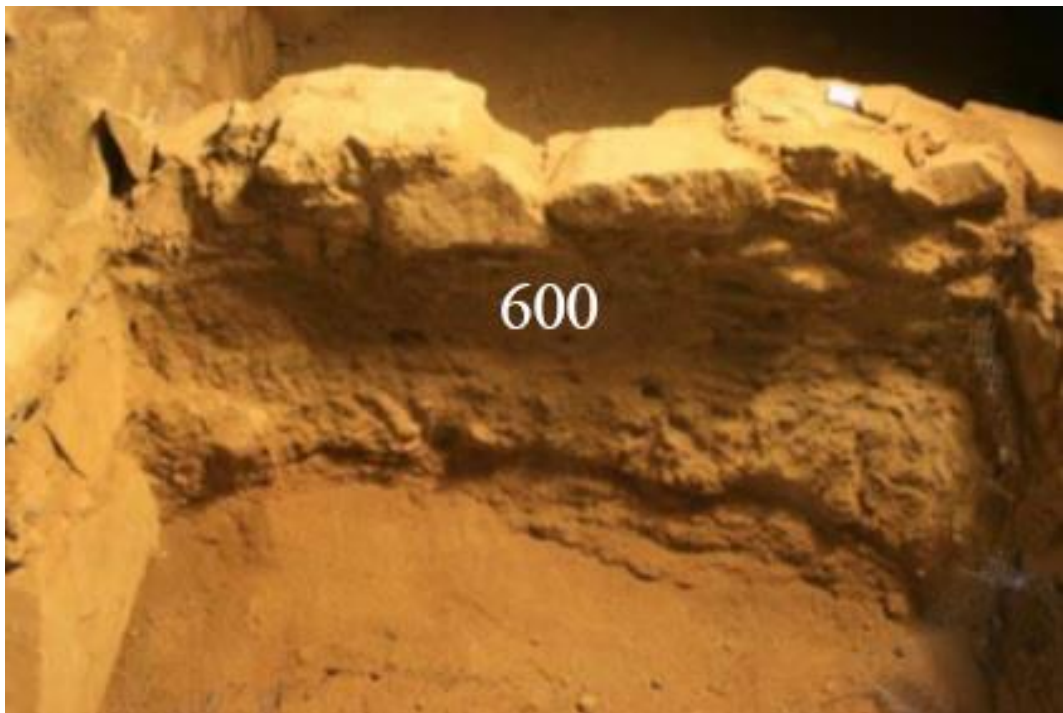


Figura 34. Fotografia del mur **UE 600** modificada per l'autor (Ferrer i Sánchez, 2010).

UE 1002 (Sánchez, 2011)

Jaciment: Baetulo.

Intervenció arqueològica: Carrer de les Termes Romanes, núm. 2 (fig. 15).

Tipus d'estructura: Mur.

Orientació: ?

Característiques constructives: Maçoneria de morter de calç i sorra de color beix clar, compost de pedres irregulars, maons fragmentats i sencers, ceràmica vidriada. Es troba revestida per una capa d'enlluït feta del mateix morter. La part superior acaba amb maons col·locats horitzontalment de través.

Dimensions: No s'ha pogut prendre les mesures per la crisi sanitària per COVID-19

Cronologia: ?

Fotografia:



Figura 35. Fotografia del mur **UE 1002** modificada per l'autor (Sánchez, 2011).

UE 1003 (Sánchez, 2011)

Jaciment: Baetulo.

Intervenció arqueològica: Carrer de les Termes Romanes, núm. 2 (fig. 15).

Tipus d'estructura: Mur.

Orientació: ?

Característiques constructives: Maçoneria de morter de calç i sorra de color beix clar, compost d'àrids fins, pedres irregulars, maons fragmentats i sencers, ceràmica vidriada. Es troba revestida per una capa d'enlluït feta del mateix morter (UE desconeguda).

Dimensions: No s'ha pogut prendre les mesures per la crisi sanitària per COVID-19

Cronologia: ?

Fotografia:



Figura 36. Fotografia del mur **UE 1003** modificada per l'autor (Sánchez, 2011).

UE 1004 (Sánchez, 2011)

Jaciment: Baetulo.

Intervenció arqueològica: Carrer de les Termes Romanes, núm. 2 (fig. 15).

Tipus d'estructura: Mur.

Orientació: ?

Característiques constructives: Maçoneria de morter de calç i sorra de color beix clar, compost d'àrids fins, pedres irregulars, maons fragmentats i sencers, ceràmica vidriada. Es troba revestida per una capa d'enlluït feta del mateix morter (UE desconeguda).

Dimensions: No s'ha pogut prendre les mesures per la crisi sanitària per COVID-19

Cronologia: ?

Fotografia:



Figura 37. Fotografia del mur **UE 1004** modificada per l'autor (Sánchez, 2011).

UE 1009 (Ferrer i Sánchez, 2010)

Jaciment: Baetulo.

Intervenció arqueològica: Plaça de Font i Cussó (fig. 12).

Tipus d'estructura: Mur.

Orientació: NO-SE.

Característiques constructives: A sac en maçoneria de morter de calç i sorra de color blanquinós.

Dimensions: No s'ha pogut prendre les mesures per la crisi sanitària per COVID-19.

Cronologia: Segle I dC.

Fotografia: No s'ha pogut realitzar per la crisi sanitària per COVID-19 i no hi ha cap fotografia dins la memòria d'intervenció arqueològica.

UE 1023 (Fernández i Sánchez, 2008-2009)

Jaciment: Baetulo.

Intervenció arqueològica: Carrer de les Termes Romanes, núm. 3 (fig. 10).

Tipus d'estructura: Mur.

Orientació: NE-SO.

Característiques constructives: Filades de pedres irregulars lligades amb morter. Aquest mur té el parament sud enlluït amb una capa de morter de calç blanquinós (UE desconeguda).

Dimensions: No s'ha pogut prendre les mesures per la crisi sanitària per COVID-19

Cronologia: Entre els segles I aC i I dC (Dinastia Julioclàudia).

Fotografia:



Figura 38. Fotografia del mur **UE 1023** modificada per l'autor (Fernández i Sánchez, 2008-2009).

UE 1024 (Fernández i Sánchez, 2008-2009)

Jaciment: Baetulo.

Intervenció arqueològica: Carrer de les Termes Romanes, núm. 3 (fig. 10).

Tipus d'estructura: Mur.

Orientació: NO-SE.

Característiques constructives: Filades de pedres irregulars lligades amb morter de calç. Extrem sud-est fet de grans pedres irregulars.

Dimensions: No s'ha pogut prendre les mesures per la crisi sanitària per COVID-19

Cronologia: Entre els segles I aC i I dC (Dinastia Julioclàudia).

Fotografia:



Figura 39. Fotografia del mur UE 1024 modificada per l'autor (Fernández i Sánchez, 2008-2009).

UE 1030 (Sánchez, 2011)

Jaciment: Baetulo.

Intervenció arqueològica: Carrer de les Termes Romanes, núm. 2 (fig. 15).

Tipus d'estructura: Mur.

Orientació: ?

Característiques constructives: Maçoneria de pedres parcialment treballades (gres vermell i altres tipus locals), lligades amb morter de calç i sorra de color blanquinós. Té una mena de petita banqueteta que sobre surt amb respecte de la línia del mur 4 o 5 cm. Revestiment del parament oriental amb una capa de morter de calç i sorra amb revestiment pictòric (UE's 1160 i 1100).

Dimensions: No s'ha pogut prendre les mesures per la crisi sanitària per COVID-19

Cronologia: ?

Fotografia:



Figura 40. Fotografia del mur UE 1030 modificada per l'autor (Sánchez, 2011).

UE 1035 (Sánchez, 2011)

Jaciment: Baetulo.

Intervenció arqueològica: Carrer de les Termes Romanes, núm. 2 (fig. 15).

Tipus d'estructura: Mur.

Orientació: ?

Característiques constructives: Maçoneria de pedres parcialment treballades (sorrenca vermell i altres tipus locals), lligades amb morter de calç i sorra de color blanquinós. Té una petita banqueteta de 4 o 5 cm. Revestiment del parament meridional amb una capa de morter de calç i sorra amb capa pictòrica (UE 's 1178 i 1180).

Dimensions: No s'ha pogut prendre les mesures per la crisi sanitària per COVID-19

Cronologia: ?

Fotografia:



Figura 41. Fotografia del mur **UE 1035** modificada per l'autor (Sánchez, 2011).

UE 1040 (Sánchez, 2011)

Jaciment: Baetulo.

Intervenció arqueològica: Carrer de les Termes Romanes, núm. 2 (fig. 15).

Tipus d'estructura: Fonamentació de la **UE desconeguda**.

Orientació: ?

Característiques constructives: Pseudo-*vittatum* de petits carreus de pedra sorrenca vermella, lligades amb morter de calç i sorra, que es disposen en filades més o menys regulars. La part superior estava rematada amb *tegulae* lligades amb morter de calç.

Dimensions: No s'ha pogut prendre les mesures per la crisi sanitària per COVID-19

Cronologia: ?

Fotografia:



Figura 42. Fotografia de la fonamentació **UE 1040** modificada per l'autor (Sánchez, 2011).

UE 1050 (Sánchez, 2011)

Jaciment: Baetulo.

Intervenció arqueològica: Carrer de les Termes Romanes, núm. 2 (fig. 15).

Tipus d'estructura: Mur.

Orientació: ?

Característiques constructives: Maçoneria de pedres parcialment treballades (sorrenca vermell i altres tipus locals), lligades amb morter de calç i sorra de color blanquinós. Té una mena de petita banqueteta que sobre surt amb respecte de la línia del mur 4 o 5 cm.

Dimensions: No s'ha pogut prendre les mesures per la crisi sanitària per COVID-19

Cronologia: ?

Fotografia:



Figura 43. Fotografia del mur **UE 1050** modificada per l'autor (Sánchez, 2011).

UE 1055 (Fernández i Sánchez, 2008-2009)

Jaciment: Baetulo.

Intervenció arqueològica: Carrer de les Termes Romanes, núm. 3 (fig. 10).

Tipus d'estructura: Mur.

Orientació: NE-SO.

Característiques constructives: Maçoneria de pedres lligades amb morter de calç. La part inferior es cobreix amb fragments d'àmfora.

Dimensions: No s'ha pogut prendre les mesures per la crisi sanitària per COVID-19

Cronologia: Entre els segles I aC i I dC (Dinastia Julioclàudia).

Fotografia:



Figura 44. Fotografia del mur **UE 1055** modificada per l'autor (Fernández i Sánchez, 2008-2009).

UE 1055 (Sánchez, 2011)

Jaciment: Baetulo.

Intervenció arqueològica: Carrer de les Termes Romanes, núm. 2 (fig. 15).

Tipus d'estructura: Fonamentació de la **UE desconeguda**.

Orientació: ?

Característiques constructives: Maçoneria de pedres parcialment treballades (sorrenca vermell i altres tipus locals), lligades amb morter de calç i sorra de color blanquinós, les quals es disposen en filades regulars.

Dimensions: No s'ha pogut prendre les mesures per la crisi sanitària per COVID-19

Cronologia: ?

Fotografia:



Figura 45. Fotografia de la fonamentació **UE 1055** modificada per l'autor (Sánchez, 2011).

UE 1070 (Sánchez, 2011)

Jaciment: Baetulo.

Intervenció arqueològica: Carrer de les Termes Romanes, núm. 2 (fig. 15).

Tipus d'estructura: Fonamentació de la **UE desconeguda**.

Orientació: ?

Característiques constructives: Maçoneria de pedres (sorrenca vermellova i locals) lligades amb morter de calç i sorra, disposades en filades regulars. Revestit amb una capa de morter de calç de color beix clar (pobre en calç) que apareix pintat (UE 1140).

Dimensions: No s'ha pogut prendre les mesures per la crisi sanitària per COVID-19

Cronologia: ?

Fotografia: No s'ha pogut realitzar per la crisi sanitària per COVID-19 i no hi ha cap fotografia dins la memòria d'intervenció arqueològica.

UE 1108 (Fernández i Sánchez, 2008-2009)

Jaciment: Baetulo.

Intervenció arqueològica: Carrer de les Termes Romanes, núm. 3 (fig. 10).

Tipus d'estructura: Mur.

Orientació: NO-SE.

Característiques constructives: Filades de pedres irregulars lligades amb fang. L'extrem nord es reforça amb un carreu reaprofitat.

Dimensions: No s'ha pogut prendre les mesures per la crisi sanitària per COVID-19

Cronologia: Segle V dC o posterior.

Fotografia:



Figura 46. Fotografia del mur **UE 1108** modificada per l'autor (Fernández i Sánchez, 2008-2009).

UE 1111 (Fernández i Sánchez, 2008-2009)

Jaciment: Baetulo.

Intervenció arqueològica: Carrer de les Termes Romanes, núm. 3 (fig. 10).

Tipus d'estructura: Mur.

Orientació: NE-SO.

Característiques constructives: Maçoneria a base de filades de pedres irregulars poc treballades (es conserven quatre) lligades amb morter de calç de color blanquinós.

Dimensions: No s'ha pogut prendre les mesures per la crisi sanitària per COVID-19

Cronologia: Entre els segles I aC i I dC (Dinastia Julioclàudia).

Fotografia:



Figura 47. Fotografia del mur **UE 1111** modificada per l'autor (Fernández i Sánchez, 2008-2009).

UE 1112 (Fernández i Sánchez, 2008-2009)

Jaciment: Baetulo.

Intervenció arqueològica: Carrer de les Termes Romanes, núm. 3 (fig. 10).

Tipus d'estructura: Fonamentació de la **UE desconeguda**.

Orientació: NE-SO.

Característiques constructives: Filades de pedres irregulars lligades amb fang que es disposen en dues fileres descrivint un possible arc.

Dimensions: No s'ha pogut prendre les mesures per la crisi sanitària per COVID-19

Cronologia: Possiblement a partir del segle III dC.

Fotografia:



Figura 48. Fonamentació de la **UE 1112** modificada per l'autor (Fernández i Sánchez, 2008-2009).

UE 1155 (Sánchez, 2011)

Jaciment: Baetulo.

Intervenció arqueològica: Carrer de les Termes Romanes, núm. 2 (fig. 15).

Tipus d'estructura: Fonamentació de la **UE desconeguda**.

Orientació: ?

Característiques constructives: Maçoneria de pedres parcialment treballades lligades amb morter de calç.

Dimensions: No s'ha pogut prendre les mesures per la crisi sanitària per COVID-19

Cronologia: ?

Fotografia:



Figura 49. Fotografia de la fonamentació **UE 1155** modificada per l'autor (Sánchez, 2011).

UE 1157 (Fernández et al, 2009-2010)

Jaciment: Baetulo.

Intervenció arqueològica: Carrer de les Termes Romanes, núm. 3 (fig. 13).

Tipus d'estructura: Fonamentació de la **UE desconeguda**.

Orientació: NO-SE.

Característiques constructives: A sac amb pedres irregulars lligades amb fang.

Dimensions: 0,7 x 0,62 x 0,20 m.

Cronologia: A partir del segle V dC.

Fotografia:



Figura 50. Fotografia del mur **UE 1157** modificada per l'autor (Fernández et al, 2009-2010).

UE 1158 (Fernández et al, 2009-2010)

Jaciment: Baetulo.

Intervenció arqueològica: Carrer de les Termes Romanes, núm. 3 (fig. 13).

Tipus d'estructura: Fonamentació de la **UE desconeguda**.

Orientació: NO-SE.

Característiques constructives: A sac amb pedres irregulars lligades amb fang.

Dimensions: 0,66 x 0,64 x 0,20 m.

Cronologia: A partir del segle V dC.

Fotografia:



Figura 51. Fotografia del mur **UE 1158** modificada per l'autor (Fernández et al, 2009-2010).

UE 1200 (Fernández i Sánchez, 2008-2009)

Jaciment: Baetulo.

Intervenció arqueològica: Carrer de les Termes Romanes, núm. 3 (fig. 10).

Tipus d'estructura: Mur.

Orientació: NO-SE.

Característiques constructives: Maçoneria de filades de pedres lligades amb morter de calç.

Dimensions: No s'ha pogut prendre les mesures per la crisi sanitària per COVID-19

Cronologia: Desconeguda.

Fotografia:



Figura 52. Fotografia del mur **UE 1200** modificada per l'autor (Fernández i Sánchez, 2008-2009).

UE 1200 (Sánchez, 2011)

Jaciment: Baetulo.

Intervenció arqueològica: Carrer de les Termes Romanes, núm. 2 (fig. 15).

Tipus d'estructura: Reforma del mur **UE 1360**.

Orientació: ?

Característiques constructives: Pedres lligades amb fang, construït a sac al parament nord, mentre que el del sud està revestit amb pintures (UE desconeguda).

Dimensions: No s'ha pogut prendre les mesures per la crisi sanitària per COVID-19

Cronologia: ?

Fotografia: No s'ha pogut realitzar per la crisi sanitària per COVID-19 i no hi ha cap fotografia dins la memòria d'intervenció arqueològica.

UE 1221 (Fernández i Sánchez, 2008-2009)

Jaciment: Baetulo.

Intervenció arqueològica: Carrer de les Termes Romanes, núm. 3 (fig. 10).

Tipus d'estructura: Fonamentació de la **UE desconeguda**.

Orientació: ?

Característiques constructives: Grans pedres irregulars.

Dimensions: Es va desmuntar i les seves dimensions no apareixen a la memòria d'intervenció arqueològica.

Cronologia: Segle V dC.

Fotografia:



Figura 53. Fotografia de la fonamentació **UE 1221** (Fernández i Sánchez, 2008-2009).

UE 1222 (Fernández i Sánchez, 2008-2009)

Jaciment: Baetulo.

Intervenció arqueològica: Carrer de les Termes Romanes, núm. 3 (fig. 10).

Tipus d'estructura: Fonamentació de la **UE desconeguda**.

Orientació: ?

Característiques constructives: Grans pedres irregulars.

Dimensions: Es va desmuntar i les seves dimensions no apareixen a la memòria d'intervenció arqueològica.

Cronologia: Segle V dC.

Fotografia:



Figura 54. Fotografia de la fonamentació **UE 1222** (Fernández i Sánchez, 2008-2009).

UE 1223 (Fernández i Sánchez, 2008-2009)

Jaciment: Baetulo.

Intervenció arqueològica: Carrer de les Termes Romanes, núm. 3 (fig. 10).

Tipus d'estructura: Fonamentació de la **UE desconeguda**.

Orientació: ?

Característiques constructives: Grans pedres irregulars.

Dimensions: Es va desmuntar i les seves dimensions no apareixen a la memòria d'intervenció arqueològica.

Cronologia: Segle V dC.

Fotografia: Es va desmuntar i no hi ha cap fotografia dins la memòria d'intervenció arqueològica.

UE 1224 (Fernández i Sánchez, 2008-2009)

Jaciment: Baetulo.

Intervenció arqueològica: Carrer de les Termes Romanes, núm. 3 (fig. 10).

Tipus d'estructura: Fonamentació de la **UE desconeguda**.

Orientació: ?

Característiques constructives: Grans pedres irregulars.

Dimensions: Es va desmuntar i les seves dimensions no apareixen a la memòria d'intervenció arqueològica.

Cronologia: Segle V dC.

Fotografia: Es va desmuntar i no hi ha cap fotografia dins de la memòria d'intervenció arqueològica.

UE 1233 (Fernández et al, 2009-2010)

Jaciment: Baetulo.

Intervenció arqueològica: Carrer de les Termes Romanes, núm. 3 (fig. 13).

Tipus d'estructura: Mur.

Orientació: NE-SO.

Característiques constructives: La primera fase està feta de pedres irregulars de mitjanes dimensions lligades amb fang que són calçades per altres més petites. La segona fase està feta de filades de pedres irregulars i material constructiu ceràmic lligats amb morter de calç de color blanquinós.

Dimensions: 5,6 x 0,5 x 1,3 m.

Cronologia: A partir del segle I dC.

Fotografia:



Figura 55. Fotografia del mur **UE 1233** (Autor).

UE 1240 (Sánchez, 2011)

Jaciment: Baetulo.

Intervenció arqueològica: Carrer de les Termes Romanes, núm. 2 (fig. 15).

Tipus d'estructura: Mur.

Orientació: ?

Característiques constructives: Pedres irregulars i material constructiu ceràmic lligats amb fang. El parament nord està revestit amb morter de calç (UE desconeguda).

Dimensions: No s'ha pogut prendre les mesures per la crisi sanitària per COVID-19

Cronologia: ?

Fotografia: No s'ha pogut realitzar per la crisi sanitària per COVID-19 i no hi ha cap fotografia dins la memòria d'intervenció arqueològica.

UE 1255 (Sánchez, 2011)

Jaciment: Baetulo.

Intervenció arqueològica: Carrer de les Termes Romanes, núm. 2 (fig. 15).

Tipus d'estructura: Mur.

Orientació: ?

Característiques constructives: Filades de pedres parcialment treballades, lligades amb fang i falcades amb altres més petites.

Dimensions: No s'ha pogut prendre les mesures per la crisi sanitària per COVID-19

Cronologia: ?

Fotografia: No s'ha pogut realitzar per la crisi sanitària per COVID-19 i no hi ha cap fotografia dins la memòria d'intervenció arqueològica.

UE 1260 (Sánchez, 2011)

Jaciment: Baetulo.

Intervenció arqueològica: Carrer de les Termes Romanes, núm. 2 (fig. 15).

Tipus d'estructura: Mur.

Orientació: ?

Característiques constructives: Filades més o menys regulars de pedres de mitjanes dimensions, parcialment treballades, que estan lligades amb fang i falcades amb altres més petites.

Dimensions: No s'ha pogut prendre les mesures per la crisi sanitària per COVID-19

Cronologia: ?

Fotografia: No s'ha pogut realitzar per la crisi sanitària per COVID-19 i no hi ha cap fotografia dins la memòria d'intervenció arqueològica.

UE 1265 (Sánchez, 2011)

Jaciment: Baetulo.

Intervenció arqueològica: Carrer de les Termes Romanes, núm. 2 (fig. 15).

Tipus d'estructura: Mur.

Orientació: ?

Característiques constructives: Filades irregulars de pedres poc treballades lligades amb fang i falcades amb altres més petites.

Dimensions: No s'ha pogut prendre les mesures per la crisi sanitària per COVID-19

Cronologia: ?

Fotografia: No s'ha pogut realitzar per la crisi sanitària per COVID-19 i no hi ha cap fotografia dins la memòria d'intervenció arqueològica.

UE 1271 (Fernández i Sánchez, 2008-2009)

Jaciment: Baetulo.

Intervenció arqueològica: Carrer de les Termes Romanes, núm. 3 (fig. 10).

Tipus d'estructura: Mur.

Orientació: NO-SE.

Característiques constructives: Pedres irregulars de mida mitjana lligades amb morter de calç.

Dimensions: No s'ha pogut prendre les mesures per la crisi sanitària per COVID-19.

Cronologia: Segle I aC?

Fotografia:



Figura 56. Fotografia del mur **UE 1271** modificada per l'autor (Fernández i Sánchez, 2008-2009).

UE 1273 (Fernández et al, 2009-2010)

Jaciment: Baetulo.

Intervenció arqueològica: Carrer de les Termes Romanes, núm. 3 (fig. 13).

Tipus d'estructura: Mur.

Orientació: NE-SO.

Característiques constructives: La primera fase està feta de pedres irregulars de mitjanes dimensions lligades amb fang que són calçades per altres més petites. La segona fase està feta de filades de pedres irregulars i material constructiu ceràmic lligats amb morter de calç de color blanquinós.

Dimensions: 6,39 x 0,5 x 1,35 m.

Cronologia: A partir del segle I dC.

Fotografia:



Figura 57. Fotografia del mur **UE 1273** modificada per l'autor (Fernández et al, 2009-2010).

UE 1274 (Fernández i Sánchez, 2008-2009)

Jaciment: Baetulo.

Intervenció arqueològica: Carrer de les Termes Romanes, núm. 3 (fig. 10).

Tipus d'estructura: Mur.

Orientació: NE-SO.

Característiques constructives: Maçoneria de pedres i morter de calç. Extrem est reforçat amb una cadena de carreus (UE 6056). Parament meridional enlluït (UE desconeguda).

Dimensions: No s'ha pogut prendre les mesures per la crisi sanitària per COVID-19.

Cronologia: Segle II dC?

Fotografia:



Figura 58. Fotografia del mur **UE 1274** (Autor).

UE 1275 (Sánchez, 2011)

Jaciment: Baetulo.

Intervenció arqueològica: Carrer de les Termes Romanes, núm. 2 (fig. 15).

Tipus d'estructura: Mur.

Orientació: ?

Característiques constructives: Sòcol de filades de pedres parcialment treballades lligades amb fang i falcades amb altres més petites. Damunt aquest el parament es va fer de tovots i revestit amb una capa de morter de calç i sorra pintada en blanc (UE 1690).

Dimensions: No s'ha pogut prendre les mesures per la crisi sanitària per COVID-19

Cronologia: ?

Fotografia: No s'ha pogut realitzar per la crisi sanitària per COVID-19 i no hi ha cap fotografia dins la memòria d'intervenció arqueològica.

UE 1276 (Fernández i Sánchez, 2008-2009)

Jaciment: Baetulo.

Intervenció arqueològica: Carrer de les Termes Romanes, núm. 3 (fig. 10).

Tipus d'estructura: Mur.

Orientació: NO-SE.

Característiques constructives: Pedres irregulars sense desbastar, lligades amb morter de calç. En algun punt també es va documentar material arquitectònic reaprofitat.

Dimensions: No s'ha pogut prendre les mesures per la crisi sanitària per COVID-19.

Cronologia: Segle II dC.

Fotografia:



Figura 59. Fotografia del mur **UE 1276** (Autor).

UE 1280 (Sánchez, 2011)

Jaciment: Baetulo.

Intervenció arqueològica: Carrer de les Termes Romanes, núm. 2 (fig. 15).

Tipus d'estructura: Fonamentació de la **UE indeterminada**.

Orientació: ?

Característiques constructives: A sac a base de filades de pedres irregulars lligades amb fang de color grisenc.

Dimensions: No s'ha pogut prendre les mesures per la crisi sanitària per COVID-19

Cronologia: ?

Fotografia:



Figura 60. Fotografia de la fonamentació **UE 1280** modificada per l'autor (Sánchez, 2011).

UE 1285 (Sánchez, 2011)

Jaciment: Baetulo.

Intervenció arqueològica: Carrer de les Termes Romanes, núm. 2 (fig. 15).

Tipus d'estructura: Mur.

Orientació: ?

Característiques constructives: Filades de pedres poc treballades, lligades amb fang i falcades amb altres més petites.

Dimensions: No s'ha pogut prendre les mesures per la crisi sanitària per COVID-19.

Cronologia: ?

Fotografia: No s'ha pogut realitzar per la crisi sanitària per COVID-19 i no hi ha cap fotografia dins la memòria d'intervenció arqueològica.

UE 1295 (Sánchez, 2011)

Jaciment: Baetulo.

Intervenció arqueològica: Carrer de les Termes Romanes, núm. 2 (fig. 15).

Tipus d'estructura: Mur.

Orientació: ?

Característiques constructives: Filades irregulars de pedres heteromètriques lligades amb fang i falcades amb altres més petites.

Dimensions: No s'ha pogut prendre les mesures per la crisi sanitària per COVID-19.

Cronologia: ?

Fotografia: No s'ha pogut realitzar per la crisi sanitària per COVID-19 i no hi ha cap fotografia dins la memòria d'intervenció arqueològica.

UE 1305 (Sánchez, 2011)

Jaciment: Baetulo.

Intervenció arqueològica: Carrer de les Termes Romanes, núm. 2 (fig. 15).

Tipus d'estructura: Mur.

Orientació: ?

Característiques constructives: Filades de pedres irregulars, fragments d'àmfores i material constructiu ceràmic lligats amb fang. Una part del parament NO està fet amb morter de calç i sorra.

Dimensions: No s'ha pogut prendre les mesures per la crisi sanitària per COVID-19.

Cronologia: ?

Fotografia:



Figura 61. Fotografia del mur **UE 1305** modificada per l'autor (Sánchez, 2011).

UE 1306 (Fernández i Sánchez, 2008-2009)

Jaciment: Baetulo.

Intervenció arqueològica: Carrer de les Termes Romanes, núm. 3 (fig. 10).

Tipus d'estructura: Fonamentació del mur **UE desconeguda**.

Orientació: NO-SE.

Característiques constructives: Pedres irregulars de mida petita lligades amb morter blanquinós.

Dimensions: No s'ha pogut prendre les mesures per la crisi sanitària per COVID-19.

Cronologia: Segle II dC?

Fotografia:



Figura 62. Fotografia de la fonamentació **UE 1306** modificada per l'autor (Fernández i Sánchez, 2008-2009).

UE 1310 (Sánchez, 2011)

Jaciment: Baetulo.

Intervenció arqueològica: Carrer de les Termes Romanes, núm. 2 (fig. 15).

Tipus d'estructura: Mur.

Orientació: ?

Característiques constructives: Filades més o menys regulars de pedres de mitjanes dimensions, parcialment treballades, que estan lligades amb fang i falcades amb altres més petites. Revestiment amb una capa de morter de calç i sorra de color blanquinós (UE 1689).

Dimensions: No s'ha pogut prendre les mesures per la crisi sanitària per COVID-19.

Cronologia: ?

Fotografia: No s'ha pogut realitzar per la crisi sanitària per COVID-19 i no hi ha cap fotografia dins la memòria d'intervenció arqueològica.

UE 1315 (Sánchez, 2011)

Jaciment: Baetulo.

Intervenció arqueològica: Carrer de les Termes Romanes, núm. 2 (fig. 15).

Tipus d'estructura: Mur.

Orientació: ?

Característiques constructives: Pedres parcialment treballades, lligades amb fang i falcades amb altres més petites.

Dimensions: No s'ha pogut prendre les mesures per la crisi sanitària per COVID-19.

Cronologia: ?

Fotografia: No s'ha pogut realitzar per la crisi sanitària per COVID-19 i no hi ha cap fotografia dins la memòria d'intervenció arqueològica.

UE 1320 (Sánchez, 2011)

Jaciment: Baetulo.

Intervenció arqueològica: Carrer de les Termes Romanes, núm. 2 (fig. 15).

Tipus d'estructura: Fonamentació de les UE's 1415, 1325, 1340.

Orientació: ?

Característiques constructives: Les riestres estan fetes de filades irregulars de pedres sense treballar, la primera filada estava realitzada amb pedres més grans que sobresortien de la línia de l'estructura a mode de banqueteta.

Dimensions: No s'ha pogut prendre les mesures per la crisi sanitària per COVID-19.

Cronologia: ?

Fotografia:



Figura 63. Fotografia de la fonamentació UE 1320 modificada per l'autor (Sánchez, 2011).

UE 1325 (Sánchez, 2011)

Jaciment: Baetulo.

Intervenció arqueològica: Carrer de les Termes Romanes, núm. 2 (fig. 15).

Tipus d'estructura: Mur.

Orientació: ?

Característiques constructives: A sac a base de filades regulars de pedres de grans dimensions, treballades i sense treballar, lligades amb terra.

Dimensions: No s'ha pogut prendre les mesures per la crisi sanitària per COVID-19.

Cronologia: ?

Fotografia:



Figura 64. Fotografia del mur **UE 1325** modificada per l'autor (Sánchez, 2011).

UE 1330 (Sánchez, 2011)

Jaciment: Baetulo.

Intervenció arqueològica: Carrer de les Termes Romanes, núm. 2 (fig. 15).

Tipus d'estructura: Fonamentació de les UE's 1415, 1325, 1340.

Orientació: ?

Característiques constructives: Les riestres estan fetes de filades irregulars de pedres sense treballar, la primera filada estava realitzada amb pedres més grans que sobresortien de la línia de l'estructura a mode de banqueteta.

Dimensions: No s'ha pogut prendre les mesures per la crisi sanitària per COVID-19

Cronologia: ?

Fotografia:



Figura 65. Fotografia de la fonamentació **UE 1330** modificada per l'autor (Sánchez, 2011).

UE 1340 (Sánchez, 2011)

Jaciment: Baetulo.

Intervenció arqueològica: Carrer de les Termes Romanes, núm. 2 (fig. 15).

Tipus d'estructura: Mur.

Orientació: ?

Característiques constructives: A sac a base de filades regulars de pedres de grans dimensions, treballades i sense treballar, lligades amb terra.

Dimensions: No s'ha pogut prendre les mesures per la crisi sanitària per COVID-19

Cronologia: ?

Fotografia:



Figura 66. Fotografia del mur **UE 1340** modificada per l'autor (Sánchez, 2011).

UE 1345 (Sánchez, 2011)

Jaciment: Baetulo.

Intervenció arqueològica: Carrer de les Termes Romanes, núm. 2 (fig. 15).

Tipus d'estructura: Mur.

Orientació: ?

Característiques constructives: Pedres irregulars, parcialment treballades, disposades en filades irregulars, lligades amb fang i falcades amb altres pedres més petites. Revestiment del parament est i sud amb una capa de morter de calç i sorra de color blanquinós (UE 1686).

Dimensions: No s'ha pogut prendre les mesures per la crisi sanitària per COVID-19.

Cronologia: ?

Fotografia: No s'ha pogut realitzar per la crisi sanitària per COVID-19 i no hi ha cap fotografia dins la memòria d'intervenció arqueològica.

UE 1350 (Sánchez, 2011)

Jaciment: Baetulo.

Intervenció arqueològica: Carrer de les Termes Romanes, núm. 2 (fig. 15).

Tipus d'estructura: Mur.

Orientació: ?

Característiques constructives: Pedres irregulars, parcialment treballades, disposades en filades irregulars, lligades amb fang i falcades amb altres pedres més petites.

Dimensions: No s'ha pogut prendre les mesures per la crisi sanitària per COVID-19.

Cronologia: ?

Fotografia: No s'ha pogut realitzar per la crisi sanitària per COVID-19 i no hi ha cap fotografia dins la memòria d'intervenció arqueològica.

UE 1355 (Sánchez, 2011)

Jaciment: Baetulo.

Intervenció arqueològica: Carrer de les Termes Romanes, núm. 2 (fig. 15).

Tipus d'estructura: Mur.

Orientació: ?

Característiques constructives: Filades de pedres irregulars lligades amb fang.

Dimensions: No s'ha pogut prendre les mesures per la crisi sanitària per COVID-19.

Cronologia: ?

Fotografia: No s'ha pogut realitzar per la crisi sanitària per COVID-19 i no hi ha cap fotografia dins la memòria d'intervenció arqueològica.

UE 1360 (Sánchez, 2011)

Jaciment: Baetulo.

Intervenció arqueològica: Carrer de les Termes Romanes, núm. 2 (fig. 15).

Tipus d'estructura: Mur.

Orientació: ?

Característiques constructives: Pedres irregulars poc treballades lligades amb terra argilosa i falcades amb altres més petites.

Dimensions: No s'ha pogut prendre les mesures per la crisi sanitària per COVID-19.

Cronologia: ?

Fotografia:



Figura 67. Fotografia del mur **UE 1360** modificada per l'autor (Sánchez, 2011).

UE 1415 (Sánchez, 2011)

Jaciment: Baetulo.

Intervenció arqueològica: Carrer de les Termes Romanes, núm. 2 (fig. 15).

Tipus d'estructura: Mur.

Orientació: ?

Característiques constructives: A sac a base de filades regulars de pedres de grans dimensions, treballades i sense treballar, lligades amb terra.

Dimensions: No s'ha pogut prendre les mesures per la crisi sanitària per COVID-19.

Cronologia: ?

Fotografia:



Figura 68. Fotografia del mur **UE 1415** modificada per l'autor (Sánchez, 2011).

UE 1440 (Sánchez, 2011)

Jaciment: Baetulo.

Intervenció arqueològica: Carrer de les Termes Romanes, núm. 2 (fig. 15).

Tipus d'estructura: Mur.

Orientació: ?

Característiques constructives: Filades irregulars de pedres parcialment treballades lligades amb fang i falcades amb altres més petites.

Dimensions: No s'ha pogut prendre les mesures per la crisi sanitària per COVID-19.

Cronologia: ?

Fotografia: No s'ha pogut realitzar per la crisi sanitària per COVID-19 i no hi ha cap fotografia dins la memòria d'intervenció arqueològica.

UE 1460 (Sánchez, 2011)

Jaciment: Baetulo.

Intervenció arqueològica: Carrer de les Termes Romanes, núm. 2 (fig. 15).

Tipus d'estructura: Mur.

Orientació: ?

Característiques constructives: Pedres irregulars, parcialment treballades, disposades en filades també irregulars, lligades amb fang i falcades amb altres més petites. Revestiment del parament meridional amb una capa de morter de calç i sorra de color blanquinós (UE 1687). Revestiment del parament nord amb una capa de morter de calç i sorra pintada en blanc (UE 1690).

Dimensions: No s'ha pogut prendre les mesures per la crisi sanitària per COVID-19.

Cronologia: ?

Fotografia:



Figura 69. Fotografia del mur **UE 1460** modificada per l'autor (Sánchez, 2011).

UE 1461 (Fernández i Sánchez, 2008-2009)

Jaciment: Baetulo.

Intervenció arqueològica: Carrer de les Termes Romanes, núm. 3 (fig. 10).

Tipus d'estructura: Mur.

Orientació: N-S.

Característiques constructives: Material constructiu i pedres irregulars lligades amb morter de calç de color blanquinós.

Dimensions: No s'ha pogut prendre les mesures per la crisi sanitària per COVID-19.

Cronologia: Finals del segle I dC.

Fotografia: No s'ha pogut realitzar per la crisi sanitària per COVID-19 i no hi ha cap fotografia dins la memòria d'intervenció arqueològica.

UE 1475 (Sánchez, 2011)

Jaciment: Baetulo.

Intervenció arqueològica: Carrer de les Termes Romanes, núm. 2 (fig. 15).

Tipus d'estructura: Fonamentació de la UE desconeguda.

Orientació: ?

Característiques constructives: Maçoneria de pedres treballades lligades amb morter de calç, seria una mena d'*opus vittatum*. Les juntes entre blocs estaven repassades.

Dimensions: No s'ha pogut prendre les mesures per la crisi sanitària per COVID-19.

Cronologia: ?

Fotografia:



Figura 70. Fotografia de la fonamentació UE 1475 modificada per l'autor (Sánchez, 2011).

UE 1486 (Fernández i Sánchez, 2008-2009)

Jaciment: Baetulo.

Intervenció arqueològica: Carrer de les Termes Romanes, núm. 3 (fig. 10).

Tipus d'estructura: Fonamentació de la **UE desconeguda**.

Orientació: NO-SE.

Característiques constructives: Filades de pedres irregulars lligades amb fang.

Dimensions: No s'ha pogut prendre les mesures per la crisi sanitària per COVID-19.

Cronologia: Segle II dC o posterior?

Fotografia:



Figura 71. Fotografia de la fonamentació **UE 1486** modificada per l'autor (Fernández i Sánchez, 2008-2009).

UE 1487 (Fernández i Sánchez, 2008-2009)

Jaciment: Baetulo.

Intervenció arqueològica: Carrer de les Termes Romanes, núm. 3 (fig. 10).

Tipus d'estructura: Mur.

Orientació: NO-SE.

Característiques constructives: Filades de pedres irregulars lligades amb morter de calç i sorra de color blanquinós. Revestiment del parament interior amb morter de calç i sorra de color blanquinós sense pintura (UE desconeguda).

Dimensions: No s'ha pogut prendre les mesures per la crisi sanitària per COVID-19.

Cronologia: A partir del segle I aC (August).

Fotografia:



Figura 72. Fotografia del mur **UE 1487** modificada per l'autor (Fernández i Sánchez, 2008-2009).

UE 1488 (Fernández i Sánchez, 2008-2009)

Jaciment: Baetulo.

Intervenció arqueològica: Carrer de les Termes Romanes, núm. 3 (fig. 10).

Tipus d'estructura: Mur.

Orientació: ?

Característiques constructives: Filades de pedres irregulars lligades amb morter de calç i sorra de color blanquinós. Revestiment del parament interior amb una capa de morter de calç i sorra de color blanquinós sense pintura (UE desconeguda).

Dimensions: No s'ha pogut prendre les mesures per la crisi sanitària per COVID-19.

Cronologia: Entre el segle I aC i I dC (August).

Fotografia: No s'ha pogut realitzar per la crisi sanitària per COVID-19 i no hi ha cap fotografia dins la memòria d'intervenció arqueològica.

UE 1500 (Sánchez, 2011)

Jaciment: Baetulo.

Intervenció arqueològica: Carrer de les Termes Romanes, núm. 2 (fig. 15).

Tipus d'estructura: Fonamentació de la **UE desconeguda**.

Orientació: ?

Característiques constructives: Maçoneria de pedres parcialment treballades (sorrenca vermell i altres tipus locals), lligades amb morter de calç i sorra de color blanquinós.

Dimensions: No s'ha pogut prendre les mesures per la crisi sanitària per COVID-19.

Cronologia: ?

Fotografia:



Figura 73. Fotografia de la fonamentació **UE 1500** modificada per l'autor (Sánchez, 2011).

UE 1507 (Fernández i Sánchez, 2008-2009)

Jaciment: Baetulo

Intervenció arqueològica: Carrer de les Termes Romanes, núm. 3 (fig. 10).

Tipus d'estructura: Mur.

Orientació: NO-SE.

Característiques constructives: Pedres i material constructiu ceràmic (*tegulae*) reaprofitat lligades amb fang. És de factura poc acurada.

Dimensions: No s'ha pogut prendre les mesures per la crisi sanitària per COVID-19.

Cronologia: Segle II dC.

Fotografia:

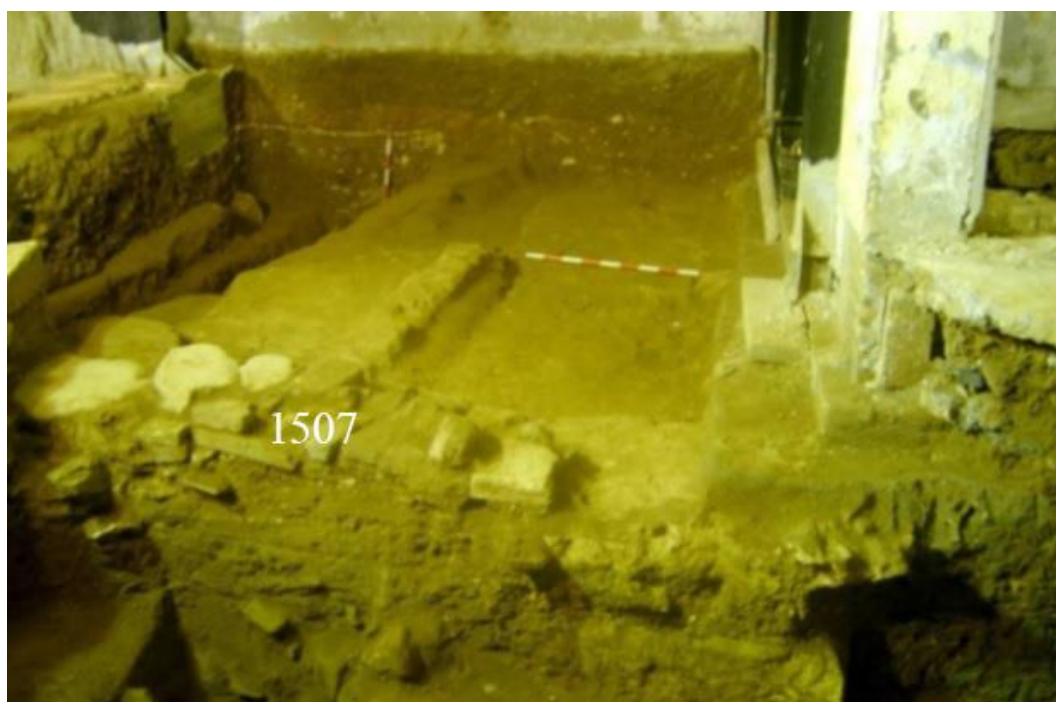


Figura 74. Fotografia del mur **UE 1507** modificada per l'autor (Fernández i Sánchez, 2008-2009).

UE 1508 (Fernández i Sánchez, 2008-2009)

Jaciment: Baetulo.

Intervenció arqueològica: Carrer de les Termes Romanes, núm. 3 (fig. 10).

Tipus d'estructura: Mur.

Orientació: SO-NE.

Característiques constructives: Morter de calç i sorra, pedres i material constructiu ceràmic reutilitzat (*tegulae*). Es completa amb una mitja canya al punt on s'uneix amb el paviment.

Dimensions: No s'ha pogut prendre les mesures per la crisi sanitària per COVID-19.

Cronologia: Entre el segle I dC (Dinastia Flàvia) i el segle II dC?

Fotografia: No s'ha pogut realitzar per la crisi sanitària per COVID-19 i no hi ha cap fotografia dins la memòria d'intervenció arqueològica.

UE 1515 (Sánchez, 2011)

Jaciment: Baetulo.

Intervenció arqueològica: Carrer de les Termes Romanes, núm. 2 (fig. 15).

Tipus d'estructura: Mur.

Orientació: ?

Característiques constructives: Pedres irregulars, parcialment treballades, disposades en filades irregulars, lligades amb fang i falcades amb altres pedres més petites. Revestiment del parament est i sud amb una capa de morter de calç i sorra de color blanquinós (UE 1686).

Dimensions: No s'ha pogut prendre les mesures per la crisi sanitària per COVID-19.

Cronologia: ?

Fotografia: No s'ha pogut realitzar per la crisi sanitària per COVID-19 i no hi ha cap fotografia dins la memòria d'intervenció arqueològica.

UE 1535 (Sánchez, 2011)

Jaciment: Baetulo.

Intervenció arqueològica: Carrer de les Termes Romanes, núm. 2 (fig. 15).

Tipus d'estructura: Mur.

Orientació: ?

Característiques constructives: Filades irregulars de pedres parcialment treballades lligades amb fang i falcades amb altres més petites.

Dimensions: No s'ha pogut prendre les mesures per la crisi sanitària per COVID-19.

Cronologia: ?

Fotografia: No s'ha pogut realitzar per la crisi sanitària per COVID-19 i no hi ha cap fotografia dins la memòria d'intervenció arqueològica.

UE 1550 (Sánchez, 2011)

Jaciment: Baetulo.

Intervenció arqueològica: Carrer de les Termes Romanes, núm. 2 (fig. 15).

Tipus d'estructura: Fonamentació de la **UE desconeguda**.

Orientació: ?

Característiques constructives: Maçoneria de pedres parcialment treballades (sorrenca vermell i altres tipus locals), lligades amb morter de calç i sorra de color blanquinós.

Dimensions: No s'ha pogut prendre les mesures per la crisi sanitària per COVID-19.

Cronologia: ?

Fotografia:



Figura 75. Fotografia de la fonamentació **UE 1550** modificada per l'autor (Sánchez, 2011).

UE 1625 (Fernández i Sánchez, 2008-2009)

Jaciment: Baetulo.

Intervenció arqueològica: Carrer de les Termes Romanes, núm. 3 (fig. 10).

Tipus d'estructura: Mur.

Orientació: ?

Característiques constructives: Pedres irregulars de mida mitjana i petita lligades amb morter de calç.

Dimensions: No s'ha pogut prendre les mesures per la crisi sanitària per COVID-19.

Cronologia: Segle I dC (Dinastia Flàvia) o posterior?

Fotografia: No s'ha pogut realitzar per la crisi sanitària per COVID-19 i no hi ha cap fotografia dins la memòria d'intervenció arqueològica.

UE 1666 (Fernández i Sánchez, 2008-2009)

Jaciment: Baetulo.

Intervenció arqueològica: Carrer de les Termes Romanes, núm. 3 (fig. 10).

Tipus d'estructura: Fonament de la **UE desconeguda**.

Orientació: NE-SO.

Característiques constructives: A sac filada de pedra.

Dimensions: No s'ha pogut prendre les mesures per la crisi sanitària per COVID-19.

Cronologia: A partir del segle I aC (August).

Fotografia:



Figura 76. Fotografia de la fonamentació **UE 1666** modificada per l'autor (Fernández i Sánchez, 2008-2009).

UE 1689 (Fernández et al, 2009-2010)

Jaciment: Baetulo.

Intervenció arqueològica: Plaça de Font i Cussó (fig. 11).

Tipus d'estructura: Fonamentació del mur **UE desconeguda**.

Orientació: ?

Característiques constructives: A sac de filades de pedres irregulars lligades amb argila.

Dimensions: No s'ha pogut prendre les mesures per la crisi sanitària per COVID-19.

Cronologia: A partir del segle V dC.

Fotografia:



Figura 77. Fotografia de la fonamentació **UE 1689** modificada per l'autor (Fernández et al, 2009-2010).

UE 1690 (Fernández i Sánchez, 2008-2009)

Jaciment: Baetulo

Intervenció arqueològica: Carrer de les Termes Romanes, núm. 3 (fig. 10).

Tipus d'estructura: Mur.

Orientació: NO-SE.

Característiques constructives: Morter de calç i sorra, pedres i material constructiu ceràmic reutilitzat (*tegulae*). Es completa amb una mitja canya al punt on s'uneix amb el paviment.

Dimensions: No s'ha pogut prendre les mesures per la crisi sanitària per COVID-19.

Cronologia: Entre el segle I dC (Dinastia Flàvia) i el segle II dC?

Fotografia: No s'ha pogut realitzar per la crisi sanitària per COVID-19 i no hi ha cap fotografia dins la memòria d'intervenció arqueològica.

UE 1698 (Fernández et al, 2009-2010)

Jaciment: Baetulo.

Intervenció arqueològica: Plaça de Font i Cussó (fig. 11).

Tipus d'estructura: Mur.

Orientació: ?

Característiques constructives: Filades de pedres irregulars lligades amb morter de calç i sorra de color blanquinós.

Dimensions: No s'ha pogut prendre les mesures per la crisi sanitària per COVID-19.

Cronologia: I dC o posterior (Post August) ?

Fotografia:



Figura 78. Fotografia del mur **UE 1698** modificada per l'autor (Fernández et al, 2009-2010).

UE 1699 (Fernández et al, 2009-2010)

Jaciment: Baetulo.

Intervenció arqueològica: Plaça de Font i Cussó (fig. 11).

Tipus d'estructura: Mur.

Orientació: NE-SO.

Característiques constructives: Filades de pedres irregulars lligades amb fang. El parament meridional estava vist mentre que el septentrional estava fet contra el tall de la terrassa que defineix aquesta estructura.

Dimensions: No s'ha pogut prendre les mesures per la crisi sanitària per COVID-19.

Cronologia: Entre el segle I aC i I dC (August)?

Fotografia:



Figura 79. Fotografia del mur **UE 1699** modificada per l'autor (Fernández et al, 2009-2010).

UE 1701 (Fernández et al, 2009-2010)

Jaciment: Baetulo.

Intervenció arqueològica: Plaça de Font i Cussó (fig. 11).

Tipus d'estructura: Mur.

Orientació: ?

Característiques constructives: Filades de pedres irregulars lligades amb fang.

Dimensions: No s'ha pogut prendre les mesures per la crisi sanitària per COVID-19.

Cronologia: Segona meitat del segle II dC.

Fotografia:



Figura 80. Fotografia del mur **UE 1701** modificada per l'autor (Fernández et al, 2009-2010).

UE 1702 (Sánchez, 2011)

Jaciment: Baetulo.

Intervenció arqueològica: Carrer de les Termes Romanes, núm. 2 (fig. 15).

Tipus d'estructura: Mur.

Orientació: ?

Característiques constructives: A sac amb pedres irregulars lligades amb terra argilosa.

Dimensions: No s'ha pogut prendre les mesures per la crisi sanitària per COVID-19.

Cronologia: ?

Fotografia:



Figura 81. Fotografia del mur **UE 1702** modificada per l'autor (Sánchez, 2011).

UE 1718 (Sánchez, 2011)

Jaciment: Baetulo.

Intervenció arqueològica: Carrer de les Termes Romanes, núm. 2 (fig. 15).

Tipus d'estructura: Mur.

Orientació: ?

Característiques constructives: Pedres irregulars lligades amb morter de calç i sorra, les quals es calcen amb altres més petites.

Dimensions: No s'ha pogut prendre les mesures per la crisi sanitària per COVID-19.

Cronologia: ?

Fotografia:



Figura 82. Fotografia del mur **UE 1718** modificada per l'autor (Sánchez, 2011).

UE 1719 (Sánchez, 2011)

Jaciment: Baetulo.

Intervenció arqueològica: Carrer de les Termes Romanes, núm. 2 (fig. 15).

Tipus d'estructura: Mur.

Orientació: ?

Característiques constructives: Pedres irregulars lligades amb morter de calç i sorra, les quals es calcen amb altres més petites.

Dimensions: No s'ha pogut prendre les mesures per la crisi sanitària per COVID-19.

Cronologia: ?

Fotografia: No s'ha pogut realitzar per la crisi sanitària per COVID-19 i no hi ha cap fotografia dins la memòria d'intervenció arqueològica.

UE 1750 (Fernández et al, 2009-2010)

Jaciment: Baetulo.

Intervenció arqueològica: Plaça de Font i Cussó (fig. 11).

Tipus d'estructura: Mur.

Orientació: ?

Característiques constructives: Filades de pedres irregulars lligades amb fang.

Dimensions: No s'ha pogut prendre les mesures per la crisi sanitària per COVID-19.

Cronologia: Segona meitat del segle II dC.

Fotografia:



Figura 83. Fotografia del mur **UE 1750** modificada per l'autor (Fernández et al, 2009-2010).

UE 1767 (Fernández et al, 2009-2010)

Jaciment: Baetulo.

Intervenció arqueològica: Plaça de Font i Cussó (fig. 14).

Tipus d'estructura: Com a hipòtesi es podria interpretar com la primera filada del fonament d'un mur no conservat.

Orientació: NO-SE.

Característiques constructives: A sac amb una filada de pedres irregulars lligades amb argila de color vermell.

Dimensions: 4,86 x 0,64 x 0,10 m.

Cronologia: A partir del segle I dC.

Fotografia:



Figura 84. Fotografia de la possible fonamentació **UE 1767** modificada per l'autor (Fernández et al, 2009-2010).

UE 1770 (Fernández et al, 2009-2010)

Jaciment: Baetulo.

Intervenció arqueològica: Plaça de Font i Cussó (fig. 11).

Tipus d'estructura: Mur.

Orientació: NO-SE.

Característiques constructives: Filades irregulars de pedres lligades amb fang i calçades amb pedres més petites. Revestit amb una capa de morter de calç (UE 22016).

Dimensions: No s'ha pogut prendre les mesures per la crisi sanitària per COVID-19.

Cronologia: Segona meitat del segle I aC?

Fotografia:



Figura 85. Fotografia del mur **UE 1770** modificada per l'autor (Fernández et al, 2009-2010).

UE 1790 (Fernández et al, 2009-2010)

Jaciment: Baetulo.

Intervenció arqueològica: Plaça de Font i Cussó (fig. 11).

Tipus d'estructura: Mur.

Orientació: NO-SE.

Característiques constructives: Filades de pedres irregulars lligades amb morter de calç.

Dimensions: No s'ha pogut prendre les mesures per la crisi sanitària per COVID-19.

Cronologia: Segle II dC?

Fotografia:



Figura 86. Fotografia del mur **UE 1790** modificada per l'autor (Fernández et al, 2009-2010).

UE 1792 (Fernández et al, 2009-2010)

Jaciment: Baetulo.

Intervenció arqueològica: Plaça de Font i Cussó (fig. 14).

Tipus d'estructura: Mur.

Orientació: NE-SO.

Característiques constructives: Filades de pedres irregulars lligades amb morter de calç de color blanquinós, la cara septentrional del qual es va fer a sac.

Dimensions: 2,6 x 0,5 x 0,4 m.

Cronologia: A partir del segle I dC.

Fotografia:



Figura 87. Fotografia del mur **UE 1792** modificada per l'autor (Fernández et al, 2009-2010).

UE 1793 (Fernández et al, 2009-2010)

Jaciment: Baetulo.

Intervenció arqueològica: Plaça de Font i Cussó (fig. 14).

Tipus d'estructura: Mur.

Orientació: NO-SE.

Característiques constructives: Filades de pedres irregulars lligades amb morter de calç de color rosaci.

Dimensions: 5 x 0,5 x 0,7 m.

Cronologia: A partir del segle I dC.

Fotografia:



Figura 88. Fotografia del mur **UE 1793** modificada per l'autor (Fernández et al, 2009-2010).

UE 1802 (Fernández et al, 2009-2010)

Jaciment: Baetulo.

Intervenció arqueològica: Plaça de Font i Cussó (fig. 11).

Tipus d'estructura: Fonamentació del mur **UE desconeguda**.

Orientació: NE-SO.

Característiques constructives: A sac de filades de pedres irregulars lligades amb fang.

Dimensions: No s'ha pogut prendre les mesures per la crisi sanitària per COVID-19.

Cronologia: A partir del segle V dC.

Fotografia: No s'ha pogut realitzar per la crisi sanitària per COVID-19 i no hi ha cap fotografia dins la memòria d'intervenció arqueològica.

UE 1804 (Fernández et al, 2009-2010)

Jaciment: Baetulo.

Intervenció arqueològica: Plaça de Font i Cussó (fig. 11).

Tipus d'estructura: Mur.

Orientació: NNO-SSE.

Característiques constructives: Filades de pedres irregulars lligades amb morter de calç i sorra de color blanquinós la base del qual es remata amb una rebava. Revestiment de l'extrem nord (UE desconeguda).

Dimensions: No s'ha pogut prendre les mesures per la crisi sanitària per COVID-19.

Cronologia: Segona meitat del segle I aC?

Fotografia: No s'ha pogut realitzar per la crisi sanitària per COVID-19 i no hi ha cap fotografia dins la memòria d'intervenció arqueològica.

UE 1812 (Fernández et al, 2009-2010)

Jaciment: Baetulo.

Intervenció arqueològica: Plaça de Font i Cussó (fig. 14).

Tipus d'estructura: Mur.

Orientació: NO-SE.

Característiques constructives: Maçoneria amb morter de calç blanquinós, del que només queden tres filades de pedres irregulars.

Dimensions: 0,72 x 0,50 x 0,72 m.

Cronologia: A partir del segle I dC.

Fotografia:



Figura 89. Fotografia del mur **UE 1812** modificada per l'autor (Fernández et al, 2009-2010).

UE 1815 (Fernández i Sánchez, 2008-2009)

Jaciment: Baetulo.

Intervenció arqueològica: Carrer de les Termes Romanes, núm. 3 (fig. 10).

Tipus d'estructura: Mur.

Orientació: ?

Característiques constructives: Filades de pedres irregulars lligades amb morter de calç i sorra de color blanquinós. Revestiment del parament interior amb una capa de morter de calç i sorra de color blanquinós sense pintura (UE desconeguda).

Dimensions: No s'ha pogut prendre les mesures per la crisi sanitària per COVID-19.

Cronologia: Entre el segle I aC i I dC (August).

Fotografia:



Figura 90. Fotografia del mur **UE 1815** (Fernández i Sánchez, 2008-2009).

UE 2004 (Fernández et al, 2009-2010)

Jaciment: Baetulo.

Intervenció arqueològica: Plaça de Font i Cussó (fig. 11).

Tipus d'estructura: Fonamentació de la **UE desconeguda**.

Orientació: ?

Característiques constructives: Pedres petites i còdols lligats amb morter de calç.

Dimensions: No s'ha pogut prendre les mesures per la crisi sanitària per COVID-19.

Cronologia: Segle I dC (Dinastia Julioclàudia).

Fotografia:



Figura 91. Fotografia de la fonamentació **UE 2004** modificada per l'autor (Fernández et al, 2009-2010).

UE 2006 (Fernández et al, 2009-2010)

Jaciment: Baetulo.

Intervenció arqueològica: Plaça de Font i Cussó (fig. 11).

Tipus d'estructura: Fonamentació de la **UE desconeguda**.

Orientació: ?

Característiques constructives: Pedres i còdols de dimensions petites lligats amb morter de calç.

Dimensions: No s'ha pogut prendre les mesures per la crisi sanitària per COVID-19.

Cronologia: Segle I dC (Dinastia Julioclàudia).

Fotografia:



Figura 92. Fotografia de la fonamentació **UE 2006** modificada per l'autor (Fernández et al, 2009-2010).

UE 2047 (Fernández et al, 2009-2010)

Jaciment: Baetulo.

Intervenció arqueològica: Plaça de Font i Cussó (fig. 11).

Tipus d'estructura: Mur.

Orientació: ?

Característiques constructives: Pedres irregulars de mida petita i mitjana lligades amb terra.

Dimensions: No s'ha pogut prendre les mesures per la crisi sanitària per COVID-19.

Cronologia: ?

Fotografia:



Figura 93. Fotografia del mur **UE 2047** (Fernández et al, 2009-2010).

UE 2049 (Fernández et al, 2009-2010)

Jaciment: Baetulo.

Intervenció arqueològica: Plaça de Font i Cussó (fig. 11).

Tipus d'estructura: Fonamentació de la **UE 2041**.

Orientació: ?

Característiques constructives: Pedres i còdols de dimensions petites lligats amb morter de calç.

Dimensions: No s'ha pogut prendre les mesures per la crisi sanitària per COVID-19.

Cronologia: ?

Fotografia:



Figura 94. Fotografia de la fonamentació **UE 2049** (Fernández et al, 2009-2010).

UE 2050 (Fernández et al, 2009-2010)

Jaciment: Baetulo.

Intervenció arqueològica: Plaça de Font i Cussó (fig. 11).

Tipus d'estructura: Mur.

Orientació: ?

Característiques constructives: Pedres irregulars de dimensions mitjanes i grans lligades amb un morter de calç i sorra de color blanquinós.

Dimensions: No s'ha pogut prendre les mesures per la crisi sanitària per COVID-19.

Cronologia: ?

Fotografia:



Figura 95. Fotografia del mur **UE 2050** modificada per l'autor (Fernández et al, 2009-2010).

UE 3093 (Fernández et al, 2009-2010)

Jaciment: Baetulo.

Intervenció arqueològica: Plaça de Font i Cussó (fig. 11).

Tipus d'estructura: Mur.

Orientació: ?

Característiques constructives: Filades irregulars de pedres no treballades lligades amb fang.

Dimensions: No s'ha pogut prendre les mesures per la crisi sanitària per COVID-19.

Cronologia: Finals de la primera meitat del segle I dC.

Fotografia:



Figura 96. Fotografia del mur **UE 3093** modificada per l'autor (Fernández et al, 2009-2010).

UE 3122 (Fernández et al, 2009-2010)

Jaciment: Baetulo.

Intervenció arqueològica: Plaça de Font i Cussó (fig. 11).

Tipus d'estructura: Mur.

Orientació: ?

Característiques constructives: Filades de pedres irregulars lligades amb fang.

Dimensions: No s'ha pogut prendre les mesures per la crisi sanitària per COVID-19.

Cronologia: Primera meitat del segle I dC.

Fotografia: No s'ha pogut realitzar per la crisi sanitària per COVID-19 i no hi ha cap fotografia dins la memòria d'intervenció arqueològica.

UE 3131 (Fernández et al, 2009-2010)

Jaciment: Baetulo.

Intervenció arqueològica: Plaça de Font i Cussó (fig. 14).

Tipus d'estructura: Fonamentació de la **UE desconeguda**.

Orientació: NO-SE.

Característiques constructives: Filades de pedres irregulars lligades amb terra argilosa, de la que només queda la primera filada.

Dimensions: 1,15 x 0,55 x 0,2 m.

Cronologia: A partir del segle III dC.

Fotografia:



Figura 97. Fotografia de la fonamentació **UE 3131** modificada per l'autor (Fernández et al, 2009-2010).

UE 3141 (Fernández et al, 2009-2010)

Jaciment: Baetulo.

Intervenció arqueològica: Plaça de Font i Cussó (fig. 14).

Tipus d'estructura: Fonamentació de la **UE desconeguda**.

Orientació: NO-SE.

Característiques constructives: Filades de pedres irregulars lligades amb terra argilosa.

Dimensions: 2,10 x 0,6 x 0,2 m.

Cronologia: A partir del segle III dC.

Fotografia:



Figura 98. Fotografia de la fonamentació **UE 3141** modificada per l'autor (Fernández et al, 2009-2010).

UE 3507 (Fernández et al, 2009-2010)

Jaciment: Baetulo.

Intervenció arqueològica: Plaça de Font i Cussó (fig. 11).

Tipus d'estructura: Fonamentació del mur **UE desconeguda**.

Orientació: ?

Característiques constructives: A sac de pedres irregulars lligades amb fang.

Dimensions: No s'ha pogut prendre les mesures per la crisi sanitària per COVID-19.

Cronologia: Possiblement medieval o post-medieval. Aquesta estructura no segueix l'orientació de les estructures romanes.

Fotografia:

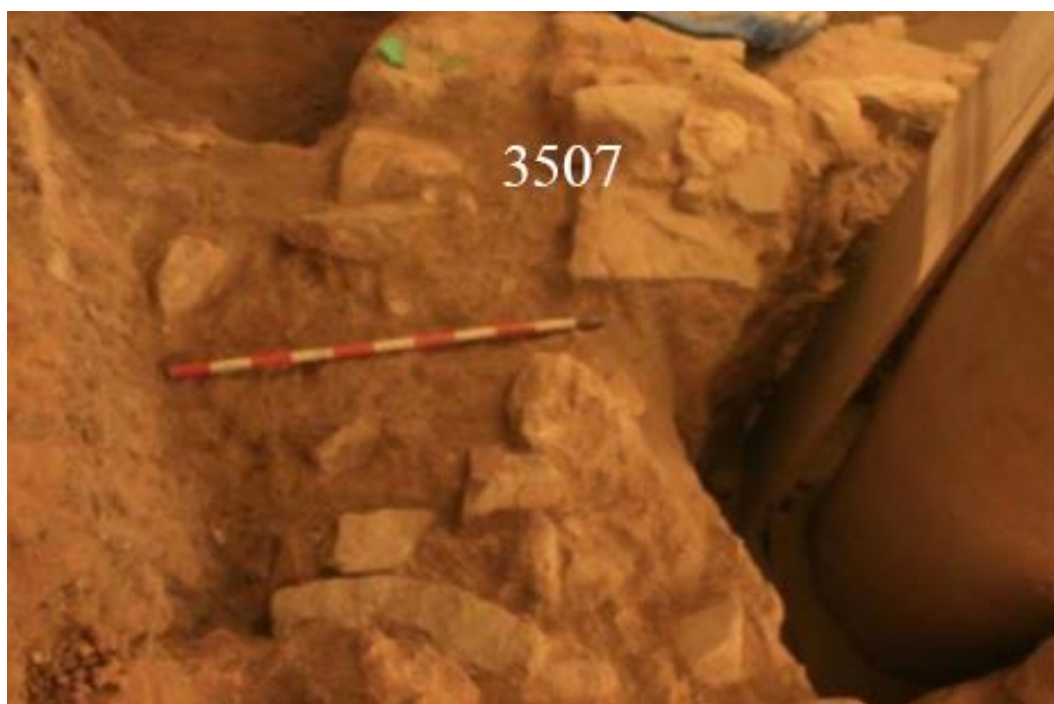


Figura 99. Fotografia de la fonamentació **UE 3507** modificada per l'autor (Fernández et al, 2009-2010).

UE 6007 (Fernández i Sánchez, 2008-2009)

Jaciment: Baetulo.

Intervenció arqueològica: Carrer de les Termes Romanes, núm. 3 (fig. 10).

Tipus d'estructura: Fonamentació de la UE 1023.

Orientació: NE-SO.

Característiques constructives: A sac a base de filades irregulars de pedres lligades amb fang.

Dimensions: No s'ha pogut prendre les mesures per la crisi sanitària per COVID-19.

Cronologia: Entre els segles I aC i I dC (Dinastia Julioclàudia).

Fotografia: No s'ha pogut realitzar per la crisi sanitària per COVID-19 i no hi ha cap fotografia dins la memòria d'intervenció arqueològica.

UE 6008 (Fernández i Sánchez, 2008-2009)

Jaciment: Baetulo.

Intervenció arqueològica: Carrer de les Termes Romanes, núm. 3 (fig. 10).

Tipus d'estructura: Reforma de mur de la UE 1023.

Orientació: NE-SO.

Característiques constructives: Reforçament de la part inferior amb fragments d'àmfora a mode de mitja canya.

Dimensions: No s'ha pogut prendre les mesures per la crisi sanitària per COVID-19.

Cronologia: Entre els segles I aC i I dC (Dinastia Julioclàudia).

Fotografia: No s'ha pogut realitzar per la crisi sanitària per COVID-19 i no hi ha cap fotografia dins la memòria d'intervenció arqueològica.

UE 6010 (Fernández i Sánchez, 2008-2009)

Jaciment: Baetulo.

Intervenció arqueològica: Carrer de les Termes Romanes, núm. 3 (fig. 10).

Tipus d'estructura: Mur.

Orientació: ?

Característiques constructives: Filades més o menys regulars de pedres lligades amb fang.

Dimensions: No s'ha pogut prendre les mesures per la crisi sanitària per COVID-19.

Cronologia: Segle V dC o posterior.

Fotografia:



Figura 100. Fotografia del mur **UE 6010** modificada per l'autor (Fernández i Sánchez, 2008-2009).

UE 6018 (Fernández i Sánchez, 2008-2009)

Jaciment: Baetulo.

Intervenció arqueològica: Carrer de les Termes Romanes, núm. 3 (fig. 10).

Tipus d'estructura: Mur.

Orientació: ?

Característiques constructives: Filades de pedres irregulars i còdols lligats amb fang.

Dimensions: No s'ha pogut prendre les mesures per la crisi sanitària per COVID-19.

Cronologia: Segle V dC o posterior?

Fotografia:



Figura 101. Fotografia del mur **UE 6018** modificada per l'autor (Fernández i Sánchez, 2008-2009).

UE 6027 (Fernández i Sánchez, 2008-2009)

Jaciment: Baetulo.

Intervenció arqueològica: Carrer de les Termes Romanes, núm. 3 (fig. 10).

Tipus d'estructura: Mur.

Orientació: ?

Característiques constructives: Filades de pedres irregulars lligades amb fang de factura tosca.

Dimensions: No s'ha pogut prendre les mesures per la crisi sanitària per COVID-19.

Cronologia: Posterior al I dC (August)?

Fotografia:

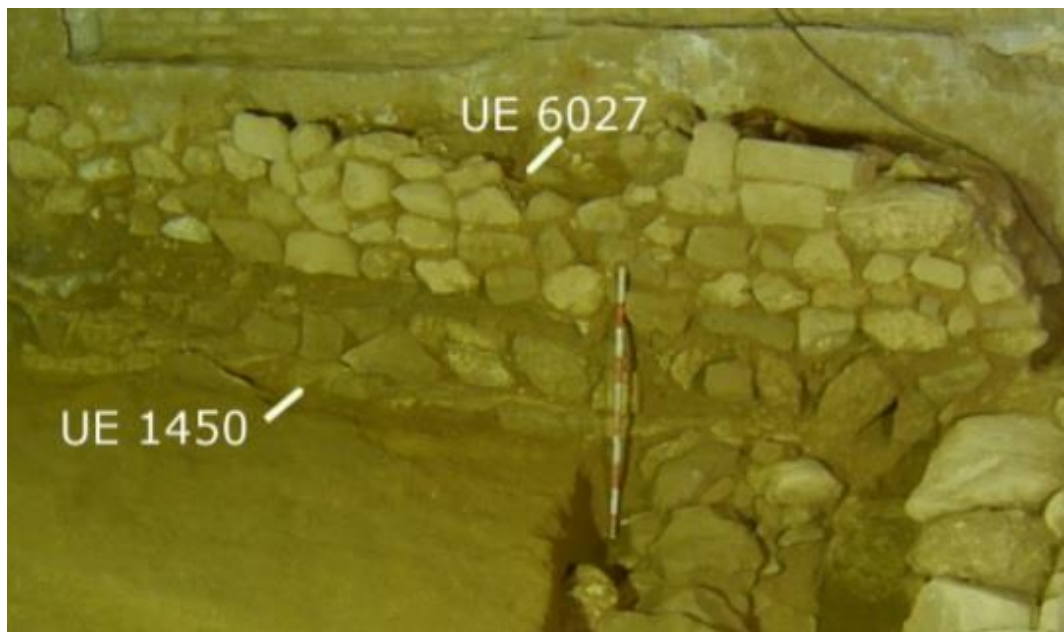


Figura 102. Fotografia del mur **UE 6027** (Fernández i Sánchez, 2008-2009).

UE 6028 (Fernández i Sánchez, 2008-2009)

Jaciment: Baetulo.

Intervenció arqueològica: Carrer de les Termes Romanes, núm. 3 (fig. 10).

Tipus d'estructura: Fonamentació de la UE 6029.

Orientació: ?

Característiques constructives: A sac a base de filades de pedres irregulars lligades amb fang.

Dimensions: No s'ha pogut prendre les mesures per la crisi sanitària per COVID-19.

Cronologia: Segle II dC?

Fotografia:



Figura 103. Fotografia de la fonamentació UE 6028 (Autor).

UE 6029 (Fernández i Sánchez, 2008-2009)

Jaciment: Baetulo.

Intervenció arqueològica: Carrer de les Termes Romanes, núm. 3 (fig. 10).

Tipus d'estructura: Mur.

Orientació: ?

Característiques constructives: Maçoneria de morter de calç, *tegulae* reaprofitades i pedres amb un pla d'arrasament molt regular. Revestit amb una capa de morter de calç (UE 6048).

Dimensions: No s'ha pogut prendre les mesures per la crisi sanitària per COVID-19.

Cronologia: Segle II dC?

Fotografia:



Figura 104. Fotografia del mur **UE 6029** i el revestiment UE 6048 (Autor).

UE 6032 (Fernández i Sánchez, 2008-2009)

Jaciment: Baetulo.

Intervenció arqueològica: Carrer de les Termes Romanes, núm. 3 (fig. 10).

Tipus d'estructura: Mur.

Orientació: ?

Característiques constructives: Filades de pedres irregulars lligades amb fang.

Dimensions: No s'ha pogut prendre les mesures per la crisi sanitària per COVID-19.

Cronologia: Segle II dC o posterior?

Fotografia:



Figura 105. Fotografia del mur **UE 6032** (Autor).

UE 6033 (Fernández i Sánchez, 2008-2009)

Jaciment: Baetulo.

Intervenció arqueològica: Carrer de les Termes Romanes, núm. 3 (fig. 10).

Tipus d'estructura: Mur.

Orientació: ?

Característiques constructives: Filades irregulars de pedres poc desbastades lligades amb fang i calçades amb pedres més petites.

Dimensions: No s'ha pogut prendre les mesures per la crisi sanitària per COVID-19.

Cronologia: A partir de l'any 70 aC?

Fotografia:



Figura 106. Fotografia del mur **UE 6033** (Autor).

UE 6034 (Fernández i Sánchez, 2008-2009)

Jaciment: Baetulo.

Intervenció arqueològica: Carrer de les Termes Romanes, núm. 3 (fig. 10).

Tipus d'estructura: Mur.

Orientació: NO-SE.

Característiques constructives: Filades irregulars de pedres poc desbastades lligades amb argiles i calçades amb pedres més petites.

Dimensions: No s'ha pogut prendre les mesures per la crisi sanitària per COVID-19.

Cronologia: A partir de l'any 70 aC?

Fotografia: No s'ha pogut realitzar per la crisi sanitària per COVID-19 i no hi ha cap fotografia dins la memòria d'intervenció arqueològica.

UE 6037 (Fernández i Sánchez, 2008-2009)

Jaciment: Baetulo.

Intervenció arqueològica: Carrer de les Termes Romanes, núm. 3 (fig. 10).

Tipus d'estructura: Mur.

Orientació: ?

Característiques constructives: Filades irregulars de pedres poc desbastades lligades amb fang i calçades amb pedres més petites.

Dimensions: No s'ha pogut prendre les mesures per la crisi sanitària per COVID-19.

Cronologia: A partir de l'any 70 aC?

Fotografia:



Figura 107. Fotografia del mur **UE 6037** modificada per l'autor (Fernández i Sánchez, 2008-2009).

UE 6040 (Fernández i Sánchez, 2008-2009)

Jaciment: Baetulo.

Intervenció arqueològica: Carrer de les Termes Romanes, núm. 3 (fig. 10).

Tipus d'estructura: Mur.

Orientació: ?

Característiques constructives: Filades irregulars de pedres poc desbastades lligades amb argiles i calçades amb pedres més petites.

Dimensions: No s'ha pogut prendre les mesures per la crisi sanitària per COVID-19.

Cronologia: A partir de l'any 70 aC?

Fotografia:



Figura 108. Fotografia del mur **UE 6040** modificada per l'autor (Fernández i Sánchez, 2008-2009).

UE 6043 (Fernández i Sánchez, 2008-2009)

Jaciment: Baetulo.

Intervenció arqueològica: Carrer de les Termes Romanes, núm. 3 (fig. 10).

Tipus d'estructura: Mur.

Orientació: ?

Característiques constructives: Filades irregulars de pedres poc desbastades lligades amb fang i calçades amb pedres més petites.

Dimensions: No s'ha pogut prendre les mesures per la crisi sanitària per COVID-19.

Cronologia: A partir de l'any 70 aC?

Fotografia: No s'ha pogut realitzar per la crisi sanitària per COVID-19 i no hi ha cap fotografia dins la memòria d'intervenció arqueològica.

UE 6055 (Fernández i Sánchez, 2008-2009)

Jaciment: Baetulo.

Intervenció arqueològica: Carrer de les Termes Romanes, núm. 3 (fig. 10).

Tipus d'estructura: Mur.

Orientació: ?

Característiques constructives: Grans pedres irregulars lligades amb fang.

Dimensions: No s'ha pogut prendre les mesures per la crisi sanitària per COVID-19.

Cronologia: Entre l'any 70 aC i el segle I dC?

Fotografia: No s'ha pogut realitzar per la crisi sanitària per COVID-19 i no hi ha cap fotografia que permeti reconèixer les característiques constructives d'aquest mur dins la memòria d'intervenció arqueològica.

UE 6060 (Fernández i Sánchez, 2008-2009)

Jaciment: Baetulo.

Intervenció arqueològica: Carrer de les Termes Romanes, núm. 3 (fig. 10).

Tipus d'estructura: Mur.

Orientació: ?

Característiques constructives: Maçoneria de morter de calç i pedres irregulars.

Dimensions: No s'ha pogut prendre les mesures per la crisi sanitària per COVID-19.

Cronologia: ?

Fotografia: No s'ha pogut realitzar per la crisi sanitària per COVID-19 i no hi ha cap fotografia dins la memòria d'intervenció arqueològica.

UE 7035 (Fernández et al, 2009-2010)

Jaciment: Baetulo.

Intervenció arqueològica: Plaça de Font i Cussó (fig. 14).

Tipus d'estructura: Fonamentació del mur **UE desconeguda**.

Orientació: NO-SE.

Característiques constructives: A sac de filades de pedres irregulars lligades amb fang.

Dimensions: 1,56 x 0,52 x 0,2 m.

Cronologia: A partir del segle VI dC.

Fotografia:



Figura 109. Fotografia de la fonamentació **UE 7035** modificada per l'autor (Fernández et al, 2009-2010).

UE 9012 (Ferrer i Sánchez, 2010)

Jaciment: Baetulo.

Intervenció arqueològica: Plaça de Font i Cussó (fig. 12).

Tipus d'estructura: Mur.

Orientació: ?

Característiques constructives: Pedres irregulars i material constructiu ceràmic lligat amb fang que forma una mena de semicercle.

Dimensions: No s'ha pogut prendre les mesures per la crisi sanitària per COVID-19.

Cronologia: A partir del segle III dC.

Fotografia:



Figura 110. Fotografia del mur **UE 9012** modificada per l'autor (Ferrer i Sánchez, 2010).

UE 10039 (Fernández et al, 2009-2010)

Jaciment: Baetulo.

Intervenció arqueològica: Plaça de Font i Cussó (fig. 14).

Tipus d'estructura: Fonamentació de la UE desconeguda.

Orientació: NO-SE.

Característiques constructives: A sac amb pedres de grans dimensions, calçades amb pedres més petites i lligades amb argila.

Dimensions: 1,07 x 0,97 x 0,4 m.

Cronologia: Possiblement a partir del segle III dC.

Fotografia:



Figura 111. Fotografia de la fonamentació UE 10039 modificada per l'autor (Fernández et al, 2009-2010).

UE 10048 (Ferrer i Sánchez, 2010)

Jaciment: Baetulo.

Intervenció arqueològica: Plaça de Font i Cussó (fig. 12).

Tipus d'estructura: Fonamentació del mur **UE desconeguda**.

Orientació: ?

Característiques constructives: A sac de maçoneria de morter de calç i pedres.

Dimensions: No s'ha pogut prendre les mesures per la crisi sanitària per COVID-19.

Cronologia: ?

Fotografia:



Figura 112. Fotografia de la fonamentació **UE 10048** (Ferrer i Sánchez, 2010).

UE 10050 (Ferrer i Sánchez, 2010)

Jaciment: Baetulo.

Intervenció arqueològica: Plaça de Font i Cussó (fig. 12).

Tipus d'estructura: Mur.

Orientació: ?

Característiques constructives: Pedres irregulars de dimensions mitjanes que estaven calçades amb altres més petites i lligades entre elles amb fang.

Dimensions: No s'ha pogut prendre les mesures per la crisi sanitària per COVID-19.

Cronologia: Entre els segles II aC i I aC (Època Tardorepublicana)?

Fotografia:



Figura 113. Fotografia de la UE 10050 modificada per l'autor (Ferrer i Sánchez, 2010).

UE 10051 (Fernández et al, 2009-2010)

Jaciment: Baetulo.

Intervenció arqueològica: Plaça de Font i Cussó (fig. 14).

Tipus d'estructura: Fonamentació de la **UE desconeguda**.

Orientació: NO-SE.

Característiques constructives: A sac a base de filades de pedres irregulars lligades amb fang.

Dimensions: 1,05 x 0,62 x 0,2 m.

Cronologia: Possiblement a partir del segle III dC.

Fotografia:



Figura 114. Fotografia de la fonamentació **UE 10051** modificada per l'autor (Fernández et al, 2009-2010).

UE 13020 (Ferrer i Sánchez, 2010)

Jaciment: Baetulo.

Intervenció arqueològica: Plaça de Font i Cussó (fig. 12).

Tipus d'estructura: Fonamentació del mur **UE 13021**.

Orientació: ?

Característiques constructives: A sac amb una primera filada de pedres, que estaven cobertes per una altra de plaques d'*opus signinum* trencades.

Dimensions: No s'ha pogut prendre les mesures per la crisi sanitària per COVID-19.

Cronologia: A partir del segle II dC?

Fotografia: No s'ha pogut realitzar per la crisi sanitària per COVID-19 i no hi ha cap fotografia dins la memòria d'intervenció arqueològica.

UE 13021 (Ferrer i Sánchez, 2010)

Jaciment: Baetulo.

Intervenció arqueològica: Plaça de Font i Cussó (fig. 12).

Tipus d'estructura: Mur.

Orientació: ?

Característiques constructives: Pedres i *tegulae* lligades amb morter de calç. Revestiment amb una capa de morter de calç (UE desconeguda).

Dimensions: No s'ha pogut prendre les mesures per la crisi sanitària per COVID-19.

Cronologia: A partir del segle II dC?

Fotografia:



Figura 115. Fotografia del mur **UE 13021** modificada per l'autor (Ferrer i Sánchez, 2010).

UE 22007 (Fernández et al, 2009-2010)

Jaciment: Baetulo.

Intervenció arqueològica: Plaça de Font i Cussó (fig. 14).

Tipus d'estructura: Mur i Fonament.

Orientació:

Característiques constructives: Filades de pedres irregulars i pivots d'àmfora lligats amb fang.

Dimensions: 1,10 x 0,6 x 0,4 m.

Cronologia: Possiblement a partir del segle II dC.

Fotografia:



Figura 116. Fotografia del mur i fonament **UE 22007** modificada per l'autor (Fernández et al, 2009-2010).

UE desconeguda (Ferrer i Sánchez, 2010)

Jaciment: Baetulo.

Intervenció arqueològica: Plaça de Font i Cussó (fig. 12).

Tipus d'estructura: Fonamentació del mur **UE 26**.

Orientació: ?

Característiques constructives: Fragments de tovots i *tegulae*.

Dimensions: No s'ha pogut prendre les mesures per la crisi sanitària per COVID-19.

Cronologia: ?

Fotografia:



Figura 117. Fotografia de la fonamentació **UE desconeguda** modificada per l'autor (Fernández et al, 2009-2010).

UE desconeguda (Fernández et al, 2009-2010)

Jaciment: Baetulo.

Intervenció arqueològica: Plaça de Font i Cussó (fig. 14).

Tipus d'estructura: Fonamentació de la **UE 167**.

Orientació: NO-SE.

Característiques constructives: A sac, de maçoneria, format per dues filades de pedres.

Dimensions: 3,2 x 0,45 x 0,4 m.

Cronologia: A partir del segle V dC.

Fotografia:



Figura 118. Fotografia de la fonamentació **UE desconeguda** modificada per l'autor (Fernández et al, 2009-2010).

UE desconeguda (Fernández i Sánchez, 2008-2009)

Jaciment: Baetulo.

Intervenció arqueològica: Carrer de les Termes Romanes, núm. 3 (fig. 10).

Tipus d'estructura: Fonamentació de la **UE 1055**.

Orientació: NE-SO.

Característiques constructives: A sac amb pedres lligades amb morter de calç i terra.

Dimensions: No s'ha pogut prendre les mesures per la crisi sanitària per COVID-19.

Cronologia: Entre els segles I aC i I dC (Dinastia Julioclàudia).

Fotografia:



Figura 119. Fotografia de la fonamentació **UE desconeguda** modificada per l'autor (Fernández i Sánchez, 2008-2009).

UE desconeguda (Fernández i Sánchez, 2008-2009)

Jaciment: Baetulo.

Intervenció arqueològica: Carrer de les Termes Romanes, núm. 3 (fig. 10).

Tipus d'estructura: Fonamentació de la **UE 1111**.

Orientació: NE-SO.

Característiques constructives: A sac d'una filada de pedres irregulars lligades amb fang i morter de calç.

Dimensions: No s'ha pogut prendre les mesures per la crisi sanitària per COVID-19.

Cronologia: Entre els segles I aC i I dC (Dinastia Julioclàudia).

Fotografia:

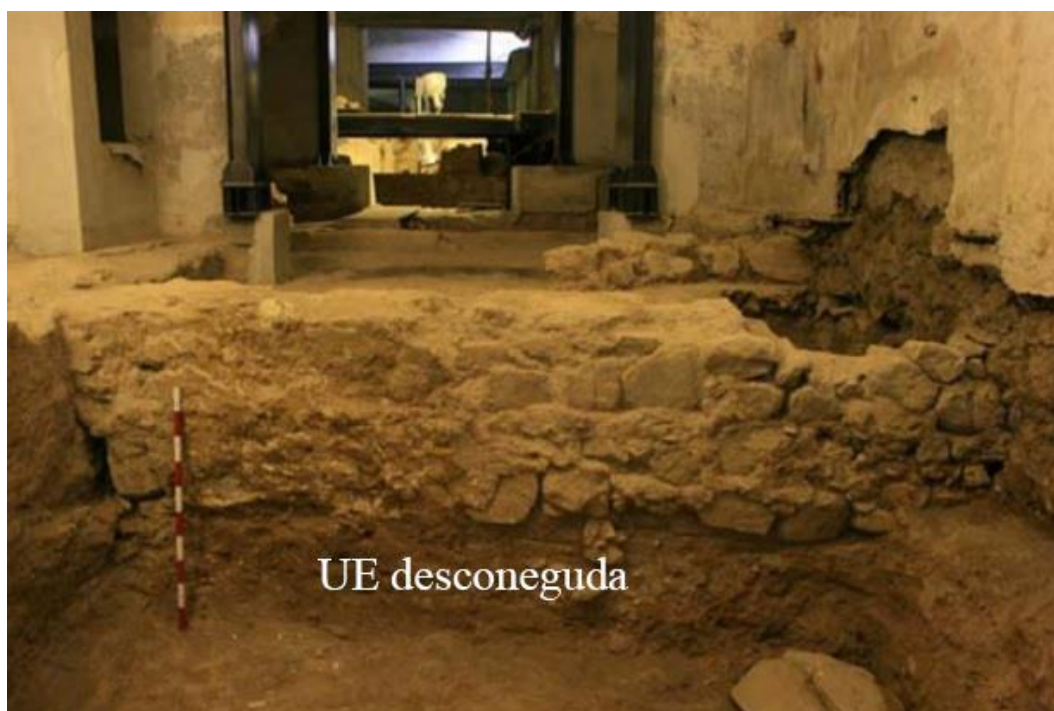


Figura 120. Fotografia de la fonamentació **UE desconeguda** modificada per l'autor (Fernández i Sánchez, 2008-2009).

UE desconeguda (Fernández i Sánchez, 2008-2009)

Jaciment: Baetulo.

Intervenció arqueològica: Carrer de les Termes Romanes, núm. 3 (fig. 10).

Tipus d'estructura: Fonament de la **UE 1487**.

Orientació: ?

Característiques constructives: A sac a base pedres irregulars lligades amb morter de calç.

Dimensions: No s'ha pogut prendre les mesures per la crisi sanitària per COVID-19.

Cronologia: A partir del segle I aC (August).

Fotografia: No s'ha pogut realitzar per la crisi sanitària per COVID-19 i no hi ha cap fotografia dins la memòria d'intervenció arqueològica.

UE desconeguda (Fernández i Sánchez, 2008-2009)

Jaciment: Baetulo.

Intervenció arqueològica: Carrer de les Termes Romanes, núm. 3 (fig. 10).

Tipus d'estructura: Fonamentació de la **UE 1488**.

Orientació: ?

Característiques constructives: A sac a base de pedres irregulars lligades amb morter de calç.

Dimensions: No s'ha pogut prendre les mesures per la crisi sanitària per COVID-19.

Cronologia: Entre el segle I aC i I dC (August).

Fotografia: No s'ha pogut realitzar per la crisi sanitària per COVID-19 i no hi ha cap fotografia dins la memòria d'intervenció arqueològica.

UE desconeguda (Fernández et al, 2009-2010)

Jaciment: Baetulo.

Intervenció arqueològica: Plaça de Font i Cussó (fig. 11).

Tipus d'estructura: Fonamentació de la **UE 1701**.

Orientació: ?

Característiques constructives: Pedres irregulars lligades amb fang.

Dimensions: No s'ha pogut prendre les mesures per la crisi sanitària per COVID-19.

Cronologia: Segona meitat del segle II dC.

Fotografia:



Figura 121. Fotografia de la fonamentació **UE desconeguda** modificada per l'autor (Fernández et al, 2009-2010).

UE desconeguda (Fernández i Sánchez, 2008-2009)

Jaciment: Baetulo.

Intervenció arqueològica: Carrer de les Termes Romanes, núm. 3 (fig. 10).

Tipus d'estructura: Fonamentació de la **UE 1815**.

Orientació: ?

Característiques constructives: A sac a base de pedres irregulars lligades amb morter de calç.

Dimensions: No s'ha pogut prendre les mesures per la crisi sanitària per COVID-19.

Cronologia: Entre el segle I aC i I dC (August).

Fotografia: No s'ha pogut realitzar per la crisi sanitària per COVID-19 i no hi ha cap fotografia dins la memòria d'intervenció arqueològica.

8. 2. FIGURES



Figura 1. Mapa físic amb esquema morfoestructural de les Serralades Costeres Catalanes i la situació de *Baetulo* (Autor).

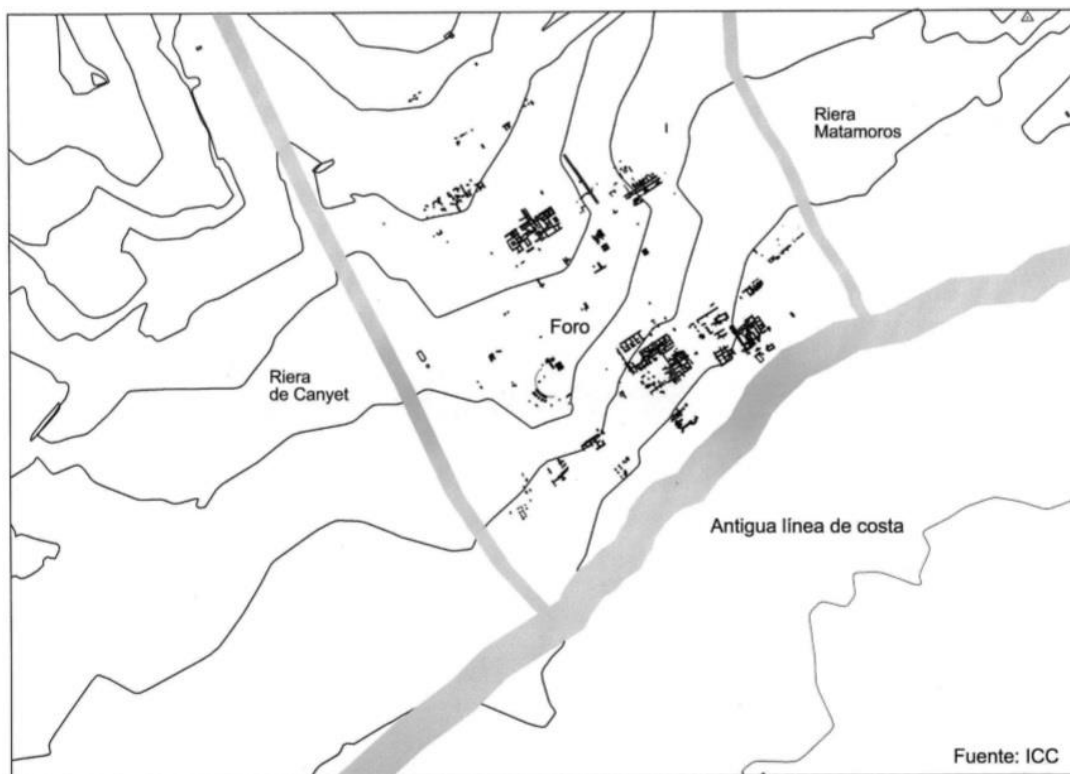


Figura 2. Enquadrament topogràfic de Baetulo (Padrós i Sánchez, 2011).



Figura 3. Traçat hipotètic de l'articulació en insulae de Baetulo (Padrós i Sánchez, 2011).



Figura 4. Conducte d'aigua. Carrer Pujol (Autor: Jordi Payà Canals).



Figura 5. Teatre. Carrer de les Eres, 13-17 (Padrós i Sánchez, 2016).

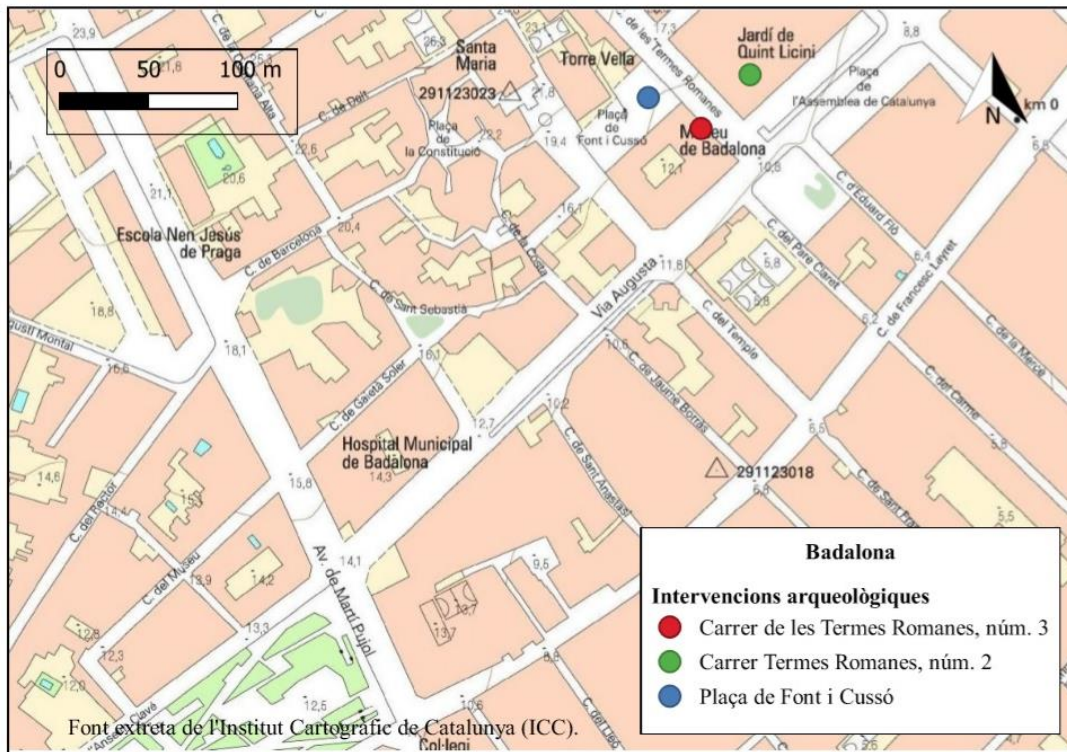


Figura 6. Plànol amb el sectors que integren aquest estudi (Autor).

ANÁLISIS DE TÉCNICAS Y PROCESOS CONSTRUCTIVOS			
DESCRIPCIÓN GENERAL			
Nº. Ficha <input style="width: 50px;" type="text"/>	Yacimiento <input style="width: 100px;" type="text"/>	Nº. Foto <input style="width: 50px;" type="text"/>	
UEM de referencia <input style="width: 50px;" type="text"/>	Edificio <input style="width: 100px;" type="text"/>	Nº. Dibujo <input style="width: 50px;" type="text"/>	
Posición Estratigráfica	Ámbito <input style="width: 100px;" type="text"/>	Nº. Plano <input style="width: 50px;" type="text"/>	
Anterior a <input style="width: 50px;" type="text"/>	Tipo de Estructura		
Coetáneo a <input style="width: 50px;" type="text"/>	<input type="checkbox"/> Cimentación	<input type="checkbox"/> Arco	<input type="checkbox"/> Pilar
Posterior a <input style="width: 50px;" type="text"/>	<input type="checkbox"/> Muro de carga	<input type="checkbox"/> Bóveda	<input type="checkbox"/> Escalera
	<input type="checkbox"/> Muro de separación	<input type="checkbox"/> Dintel	<input type="checkbox"/> Pavimento
	<input type="checkbox"/> Solución esquina	<input type="checkbox"/> Contrafuerte	<input type="checkbox"/> Canalización
ANÁLISIS DE CARACTERÍSTICAS CONSTRUCTIVAS			
Tipo de Aparejo			
Paramento Externo	<input type="checkbox"/> Norte	<input type="checkbox"/> Este	<input type="checkbox"/> Sur
			<input type="checkbox"/> Oeste
Sillería			
<input type="checkbox"/> Aparejo isódomo	<input type="checkbox"/> Hiladas horizontales regulares	<input type="checkbox"/> Elementos a sogas y tizón	<input type="checkbox"/> Presencia de cuñas
<input type="checkbox"/> Aparejo pseudoisódomo	<input type="checkbox"/> Hiladas horizontales irregulares	<input type="checkbox"/> Sólo a sogas	<input type="checkbox"/> Estructurales
<input type="checkbox"/> Aparejo regular		<input type="checkbox"/> Sólo a tizón	<input type="checkbox"/> Nivelación
<input type="checkbox"/> Aparejo irregular		<input type="checkbox"/> Por hiladas	<input type="checkbox"/> Relleno
		<input type="checkbox"/> En la misma hilada	<input type="checkbox"/> Ausencia de cuñas
		<input type="checkbox"/> Esquema irregular	
Sillarejo			
<input type="checkbox"/> Aparejo regular	<input type="checkbox"/> Hiladas irregulares	<input type="checkbox"/> Presencia de cuñas	
<input type="checkbox"/> Aparejo irregular	<input type="checkbox"/> Hiladas onduladas	<input type="checkbox"/> Estructurales	
	<input type="checkbox"/> Hiladas horizontales regulares	<input type="checkbox"/> Nivelación	
	<input type="checkbox"/> Hiladas pseudohorizontales	<input type="checkbox"/> Relleno	
		<input type="checkbox"/> Ausencia de cuñas	
Mampostería			
<input type="checkbox"/> Aparejo colocado por tongadas regulares	<input type="checkbox"/> Unido con mortero	<input type="checkbox"/> Elementos regulares	<input type="checkbox"/> Presencia de cuñas
<input type="checkbox"/> Aparejo colocado por tongadas irregulares	<input type="checkbox"/> Unido con arcilla	<input type="checkbox"/> Elementos irregulares	<input type="checkbox"/> Estructurales
<input type="checkbox"/> Sin tongadas	<input type="checkbox"/> En seco		<input type="checkbox"/> Nivelación
			<input type="checkbox"/> Relleno
			<input type="checkbox"/> Ausencia de cuñas
Aparejo de Ladrillo		Aparejo de marco	
<input type="checkbox"/> Aparejo regular	<input type="checkbox"/> Hiladas horizontales	<input type="checkbox"/> A sogas	<input type="checkbox"/> Marco con encadenados verticales de granito
<input type="checkbox"/> Aparejo irregular	<input type="checkbox"/> Hiladas pseudohorizontales	<input type="checkbox"/> A tizón	<input type="checkbox"/> Marco con encadenados horizontales de granito
	<input type="checkbox"/> Hiladas irregulares	<input type="checkbox"/> A media asta	<input type="checkbox"/> Relleno de mampostería
	<input type="checkbox"/> Alternancia de sogas-tizón		<input type="checkbox"/> Relleno de sillarejo
			<input type="checkbox"/> Relleno de tapial
Aparejos mixtos		Otros aparejos	
<input type="checkbox"/> Sillería-Ladrillo	<input type="checkbox"/> Puesta en obra por tongadas regulares	<input type="checkbox"/> Aparejo casi reticulado	
<input type="checkbox"/> Sillarejo-Ladrillo	<input type="checkbox"/> Puesta en obra por tongadas irregulares	<input type="checkbox"/> Aparejo reticulado	
<input type="checkbox"/> Sillería-Mampostería		<input type="checkbox"/> Aparejo de espina	
<input type="checkbox"/> Mampostería-Ladrillo			
Núcleo interno			
Núcleo murario (caementicium)			
<input type="checkbox"/> Mampostería unida con mortero	<input type="checkbox"/> Vertido sin orden	<input type="checkbox"/> Encofrado visible	
<input type="checkbox"/> Mampostería unida con arcilla	<input type="checkbox"/> Vertido por tongadas o bancos	<input type="checkbox"/> Encofrado no visible	
<input type="checkbox"/> Fragmentos de material lapídeo sin elaborar		<input type="checkbox"/> Paramentos externos a modo de encofrado	
		<input type="checkbox"/> % orientativo del mortero utilizado	
Componentes del núcleo			
<input type="checkbox"/> Granito	<input type="checkbox"/> Mármol	<input type="checkbox"/> Material latericio	
<input type="checkbox"/> Diorita	<input type="checkbox"/> Calcáreo	<input type="checkbox"/> Cantos de río	
<input type="checkbox"/> Cuarzita	<input type="checkbox"/> Fragmentos arquitectónicos	<input type="checkbox"/> Pizarra	
		<input type="checkbox"/> Arenisca	
Características de las juntas		Mortero	
<input type="checkbox"/> Juntas resaltadas	<input type="checkbox"/> Junta a hueso	<input type="checkbox"/> Mortero llagueado	
<input type="checkbox"/> Juntas alineadas	<input type="checkbox"/> Juntas fileteadas	<input type="checkbox"/> Mortero de relleno	Consistencia
<input type="checkbox"/> Juntas enrasadas	<input type="checkbox"/> Juntas biseladas		<input type="checkbox"/> Muy consistente
<input type="checkbox"/> Juntas rehundidas			<input type="checkbox"/> Consistente
		<input type="checkbox"/> Tipo de mortero	<input type="checkbox"/> Friable
		<input type="checkbox"/> A base de cal	
		<input type="checkbox"/> A base de arena y cal	
		<input type="checkbox"/> A base de cal y ladrillo	

Figura 8. Utilització d'alguns d'aquest paràmetres per a l'anàlisi de les restes arqueològiques (Pizzo, 2010).

MATERIALES CONSTRUCTIVOS			
Elementos Lapídeos			
<input type="checkbox"/> Elementos reutilizados		<input type="checkbox"/> Elementos no reutilizados	
Tipo de piedra	Forma	Elaboración	Huellas de talla
<input type="checkbox"/> Granito <input type="checkbox"/> Diorita <input type="checkbox"/> Mármol <input type="checkbox"/> Calcáreo <input type="checkbox"/> Arenisca <input type="checkbox"/> Cantos de río <input type="checkbox"/> Fragmentos arquitectónicos	<input type="checkbox"/> Sin forma <input type="checkbox"/> Con caras planas <input type="checkbox"/> Cuneiformes <input type="checkbox"/> Paralelepípedos	<input type="checkbox"/> Fragmentos sin elaborar <input type="checkbox"/> Parcial <input type="checkbox"/> Semiescuadrados <input type="checkbox"/> Escuadrado	<input type="checkbox"/> Pico <input type="checkbox"/> Trinchante <input type="checkbox"/> Maceta <input type="checkbox"/> Puntero <input type="checkbox"/> Cíncel recto <input type="checkbox"/> Gradina
Denominación Geológica _____			
Dimensiones elementos constructivos		Dimensiones tongadas	
<input style="width: 100%;" type="text"/>		<input style="width: 100%;" type="text"/>	
Dimensiones hiladas		Módulos	
<input style="width: 100%;" type="text"/>		<input style="width: 100%;" type="text"/>	
Acabado	Almohadillado		
<input type="checkbox"/> Sin alisar <input type="checkbox"/> Semiliso <input type="checkbox"/> Liso	<input type="checkbox"/> Cinceladura parcial Dimensiones cinceladura _____ cm <input type="checkbox"/> Cinceladura completa Grosor almohadillado _____ cm		
Color		Ladrillo	
<input style="width: 100%;" type="text"/>		<input style="width: 100%;" type="text"/>	
Moldeado		Presencia de módulos	
<input style="width: 100%;" type="text"/>		<input style="width: 100%;" type="text"/>	
REVESTIMIENTO			
<input type="checkbox"/> Horizontal <input type="checkbox"/> Hidráulico <input type="checkbox"/> Enlucido pintado <input type="checkbox"/> Mármol <input type="checkbox"/> Vertical <input type="checkbox"/> Enlucido <input type="checkbox"/> Estuco <input type="checkbox"/> Cerámico			
PROCESOS CONSTRUCTIVOS			
Proyecto		Huellas residuales del proceso de extracción en la cantera o de acabado a pie de obra	
<input type="checkbox"/> Elementos de replanteo <input type="checkbox"/> Trazados o huellas de montaje <input type="checkbox"/> Trazados o huellas de posicionamiento		<input type="checkbox"/> Marcas de cantero <input type="checkbox"/> Marcas de cuña <input type="checkbox"/> Numeral de posicionamiento <input type="checkbox"/> Improntas de herramientas de extracción	
Sistemas de construcción	Empleo de encofrado		Empleo de grapas
<input type="checkbox"/> Manual con andamios <input type="checkbox"/> Sin Mechinales <input type="checkbox"/> Mechinales de ____ cm <input type="checkbox"/> Con máquinas elevadoras <input type="checkbox"/> Sistema con espigas <input type="checkbox"/> Sistema con tenazas <input type="checkbox"/> Sistema con clavijas	<input type="checkbox"/> Vertical <input type="checkbox"/> Horizontal <input type="checkbox"/> Presencia de improntas de madera Longitud _____ cm Altura _____ cm		<input type="checkbox"/> Cola de milano <input type="checkbox"/> Rectangulares <input type="checkbox"/> Con forma de T
Elementos o reajustes en fase de construcción			
Análisis arqueométrico		Tipología	
<input type="checkbox"/> Muestras seleccionadas <input type="checkbox"/> Muestras no seleccionadas		<input type="checkbox"/> Material lapídeo Técnica constructiva _____ <input type="checkbox"/> Ladrillo Tipo _____ <input type="checkbox"/> Mortero Variante _____	

Figura 8. Utilització d'alguns d'aquest paràmetres per a l'anàlisi de les restes arqueològiques (Pizzo, 2010).

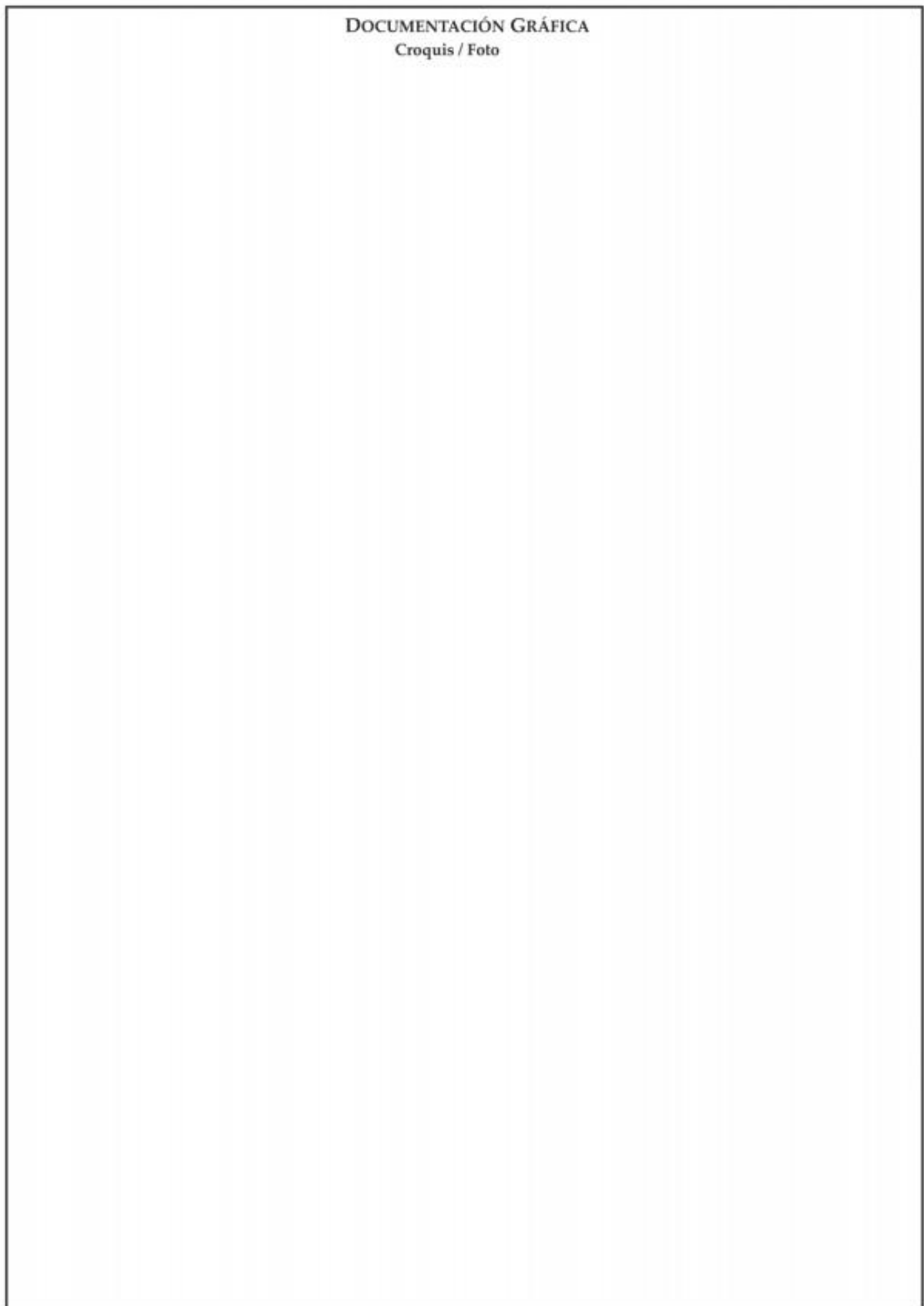


Figura 8. Utilització d'alguns d'aquest paràmetres per a l'anàlisi de les restes arqueològiques (Pizzo, 2010).

OBSERVACIONES			
Cronología			
Etapa Histórica	<input type="text"/>	Cronología	<input type="text"/>
Autor	<input type="text"/>	Fecha	<input type="text"/>

Figura 8. Utilització d'alguns d'aquest paràmetres per a l'anàlisi de les restes arqueològiques (Pizzo, 2010).



Figura 9. Planta general del Museu de Badalona (Autor: Museu de Badalona).



Figura 10. Planta general de la intervenció arqueològica del Carrer de les Termes Romanes, núm. 3 (Fernández i Sánchez, 2008-2009).

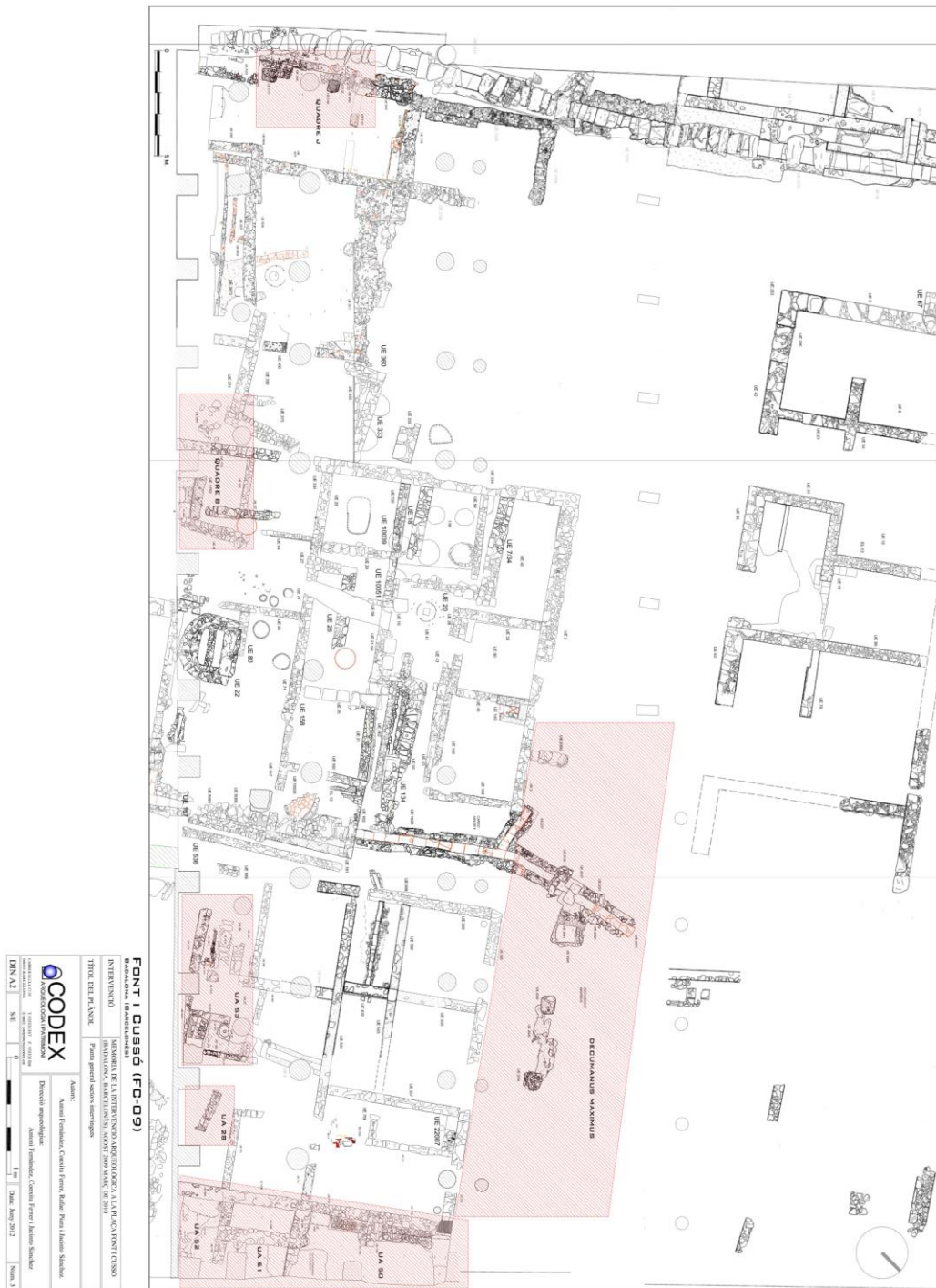


Figura 11. Planta general de la intervenció arqueològica a la Plaça de Font i Cussó (Fernández et al, 2009-2010).



Figura 12. Planta general de la intervenció arqueològica a la Plaça de Font i Cussó (Ferrer i Sánchez, 2010).

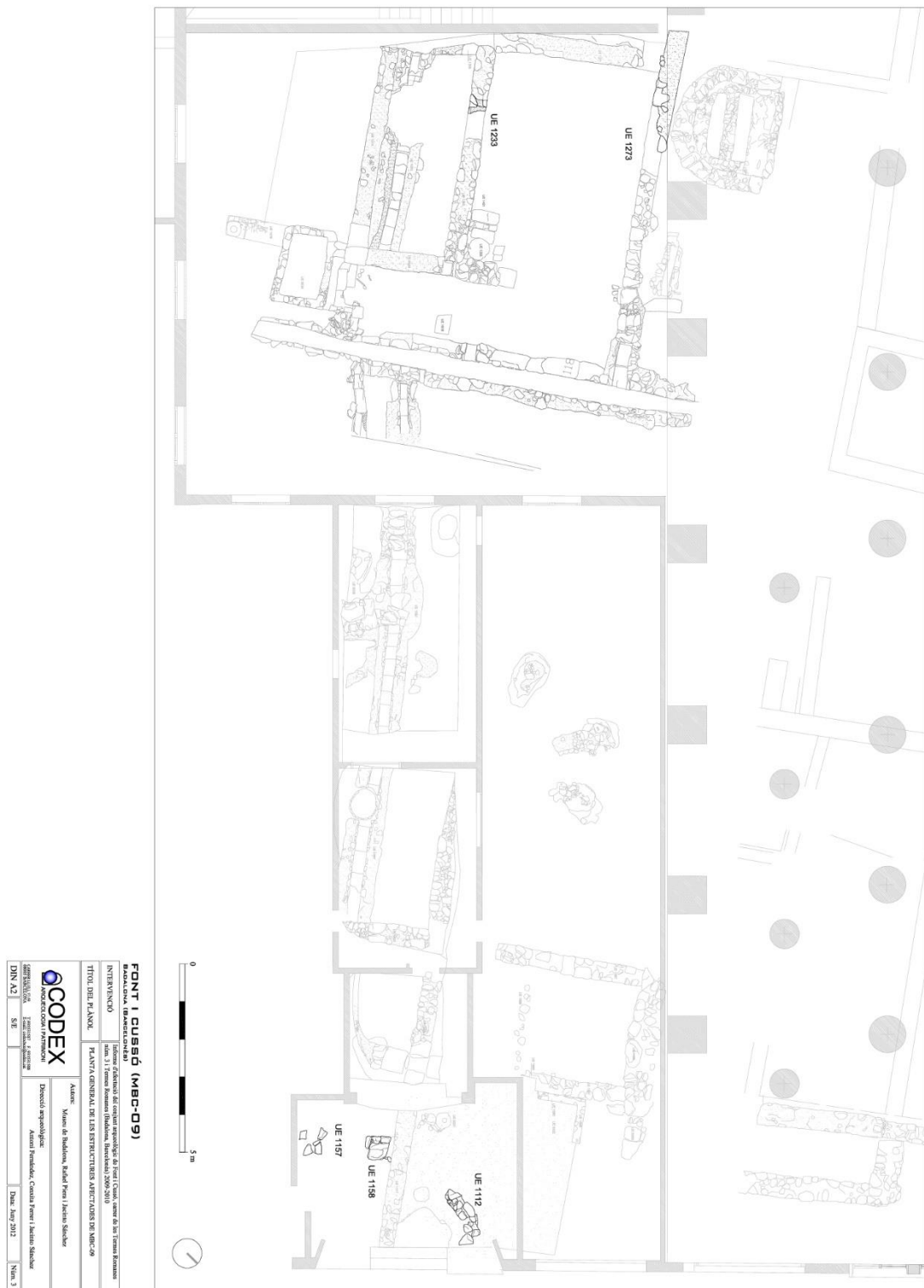


Figura 13. Planta general de les estructures afectades al Carrer de les Termes Romanes, núm. 3 (Fernández et al, 2009-2010).



Figura 14. Planta general de les estructures afectades de la Plaça de Font i Cussó (Fernández et al, 2009-2010).



Figura 15. Planta general de la intervenció arqueològica del Carrer de les Termes Romanes, núm. 2 (Sánchez, 2011).